



http://www.gastrothai.org
ISSN 0857-6351

ຈຸລສາດ

ສາມາຄະພາທີ່ຮະບນທາງເດີນອາຫາຮແຮ່ງປະເທດໄທຍ

ປີທີ 15 ລັບທີ 71 ປະຈຳເດືອນ ພຖ້ມກາມ-ມີກູນາຍານ 2550



- ທົງໄທ ອາຍຸ 42 ປີ ປວດນົກເວລາຍໂຄຮງຂວາ 1 ເດືອນກ່ອນມາ
- ຂ້າຍໄທ ອາຍຸ 34 ປີ ດ້ວຍອຸຈະຈາກເປັນເລືອດສະຫະນອນ ຮພ. 2 ສັປດາທີ
- Update management of cholangiocarcinoma
- ແຜ່ນຕິດໄວ... "ພສູຫາກົມປນາທ" ທີ່ຄາດກາຣຝໄນໄຟໄຕ
- GAT NEWS...ນຽມຢາກເຄີງການປະຊຸມວິຊາກາຮກລາງປີ 2550
- ສາມາຄະພາທີ່ຮະບນທາງເດີນອາຫາຮແຮ່ງປະເທດໄທຍ



คณภาพการพยาบาลลักษณะ

สถาบันแพทย์ระบบทางเดินอาหารแห่งประเทศไทย

วาระ พ.ศ. 2550-2551

สารบัญ

จุลสารสถาบันแพทย์ระบบทางเดินอาหารแห่งประเทศไทย

ปีที่ 15 ฉบับที่ 71 ประจำเดือน พฤษภาคม 2550

1. พญ.ชูติมา ประนูฐสินทรัพย์
2. นพ.พิรศักดิ์ ยานันดาเดช
3. นพ.เกรียงไกร อัคราวงศ์
4. นพ.พินิจ ถลสมานนิษฐ์
5. นพ.ทรงดี ชัยพาณิช
6. พญ.จันทร์รัตน์ ชี้แจงใจ
7. พญ.นันมุส วินเศษโฉกาส
8. นพ.สุริยะ จักกะพาก
9. พญ.พนิดา ทองอุดมพันธ์
10. นพ.วินเดช สุทธิรงค์
11. นพ.สุพจน์ พงศ์ประดิษฐ์
12. นพ.บุญฤทธิ์ พริ้วส่าง
13. นพ.สิงห์ พงษ์จารุณ
14. นพ.นริมพ์ ธรรมณรงค์
15. นพ.พิเศษ พิเศษพงษ์
16. นพ.โอดี้น่า วิรัฒน์วงศ์

รายงานความคิดเห็นการจัดการข้อมูลทางการแพทย์ฯ 1

รายงานงานการประชุมคณะกรรมการข้าราชการ湿润 4

ครั้งที่ 3/2550 4

GI Interhospital conference 1 14

หนังสือพิมพ์ 42 ปี ประจำเดือนพฤษภาคม 1 เดือนก่อนมา..... 14

GI Interhospital conference 2 66

"ภายในพยาบาล" 34 ปี ถ่ายทอดจากเป็นเลือดสีคล้ำและมัน รพ. 2 สัปดาห์ 35

Topic review 71

Update management of hilar cholangiocarcinoma 47

QUIZ... ตอบปัญหาเชิงรังสี ครั้งที่ 3/2550 66

เฉลย QUIZ... ตอบปัญหาเชิงรังสี ครั้งที่ 2/2550 71

คุณธรรม... เรื่องดราม 73

เบ็ดเตล็ด กิตติภัณฑ์ 77

GAT News 94

ปฏิทินกิจกรรมของสมาคมฯ ประจำปี 2550/3 99

กิจกรรมงานวิชาการ 100

ใบสมัครเข้าเป็นสมาชิกสมาคมฯ 101

GI Interhospital Conference 1

PH: ปฏิเสธโรคประจำตัว
FH: ญาลัยญาณดุเป็นมะเร็งตับ
SH: "มีสีเมเหล้า" ไม่寐บุหรี่ "ไม่เดินร้อย步" ไม่เป็นมือช้อนหัว ความพั้นຍາกราก燥/
สมุนไพร

Physical examination

แพทย์รังษี ล้านนาภาสกงกานต์
โรงพยาบาลสุราษฎร์ธานี

GA:

A Thai female, good consciousness

V/S:

BT 36°C, BP 120/70 mmHg, PR 84/min, RR 20/min

HEENT:

not pale, no icteric sclerae

Heart:

normal

Chest:

no spider nevi at chest wall, lung - clear

Abdomen:

no distension, old surgical scar at Rt. costal margin, active

bowel sound, soft, not tender, no superficial vein dilatation, liver 2 FB below RCM, span 13 cm, spleen: no dullness on percussion

Extremities:

no edema, no palmar erythema

Neurosigns:

WNL

Lymph nodes:

not palpable

Physical findings

- Deformities: epigastric tenderness
- Abdomen: Homogenous increased parenchymal echo

of liver without space taking lesion; IHD and CBD are normal. No ascites or lymphadenopathy is noted. Impression: fatty liver or other parenchymal disease. การกลั่นเมื่อห้องไม่มีดีขึ้น จึงมาตรวจที่โรงพยาบาลฯ พาลังภารណี

Problem lists

- Chronic abdominal pain at epigastrium
- S/P cholecystectomy

Laboratory

- CBC: Hct 34%, Wbc 5290/mm³, N 45.6%, L 40%, M 4.3%, E 5.8%, Platelet 201,000/mm³

■ UA : sp.gr. 1.015, pH 6.5, wbc 1-2/HPF, rbc -, prot - neg, glu - neg

BUN 5 mg/dL, Cr 0.55 mg/dL Na 130 mEq/L, K 3.5 mEq/L, Cl 98 mEq/L, CO₂ 25 mEq/L

LFT: SGOT 144 U/L, SGPT 211 U/L, AP 350 U/L, TB 0.6 mg/dL, DB 0.2 mg/dL, Alt 3.6 g/dL, GGT 3.7 g/dL

Discussion

จากประวัติทางประเพณี 2 ปีก่อนมีลักษณะเหมือนที่บริเวณลิ้นไป มีอาการปวดซัดท้องทั้งวัน “ไม่ร้าวไปไหน แต่มีผื่นขึ้นและเป็นๆ หายๆ” ตัวเองเข้ามาถ่ายอุจจาระ ท้าว ultrasound แล้วพบว่า มี gallstone และ “ได้ทำการ open cholecystectomy” แต่อาการปวดยังเหลืออยู่ “ไม่ดีขึ้น ศูนย์ถ่ายของยังบ้อนลับไป” อาการปวดท้องในรายนี้ไม่เข้ากับ typical biliary colic และ indication การผ่าตัดคือ “ไม่ดีขึ้น” แต่หลังจากผ่าตัด “ไปรื้อเลือดออกในลักษณะที่เปลี่ยนไปจากเดิม ดัง มีลักษณะของการปวดคล้ายๆ ที่บริเวณไขกระดูกขาหน้า typical biliary colic อีกเช่นกัน อาการปวดท้องตามมาภายหลังการห้ามผ่าตัดดูน้ำที่น้ำดื่มน้ำ “ได้รับ postcholecystectomy syndrome เป็นค่าที่ corroborate อาการปวดท้อง “ได้รับ pain rating scale 5 ถึง 40” ขณะที่ไปพบแพทย์ อาการปวดท้อง “ได้รับ pain rating scale 5 ถึง 40” ขณะที่ไปพบแพทย์ ผ่าตัดดูน้ำดี สาเหตุที่ขาดจากอาการผิดดูน้ำดี “ได้รับ pain rating scale 5 ถึง 40” ขณะที่ไปพบแพทย์ ผ่าตัดดูน้ำดี สาเหตุที่ขาดจากอาการผิดดูน้ำดี “ได้รับ pain rating scale 5 ถึง 40” ขณะที่ไปพบแพทย์

ตารางที่ 1 สาเหตุของอาการปวดท้องจากน้ำดี

Biliary causes	Choledocholithiasis
Biliary stricture	Cystic duct remnant
Sphincter of Oddi dysfunction	Biliary tract malignancy
Biliary tract malignancy	Cholelithiasis
Pancreatic causes	Pancreatitis
Pancreatic pseudocyst	Pancreatic malignancy
Other gastrointestinal disorders	Gastroesophageal reflux disease
Esophageal motor disorder	Peptic ulcer disease
Mesenteric ischemia	Intra-abdominal adhesions
Intra-abdominal adhesions	Intestinal maligancy
Intestinal maligancy	Irritable bowel syndrome
Extraintestinal disorders	
Psychiatric disorders	
Coronary artery disease	
Intercostals neuritis	
Wound neuroma	
Neurologic disorders	

หลังจากพิสูจน์ทางประเพณี ultrasound ที่ไม่พบ gallstone และ LFT ถูกต้อง “increased parenchymal echo of liver” ให้ลองต่อไปโดยการตรวจทางห้องปฏิบัติการ ที่โรงพยาบาลชั้นนำ ร้าน ALP ก่อนผ่าตัดจะดีกว่า “ถ้าเป็นจริงจะยังคงใช้ยาเดิมคงปลอดภัย”

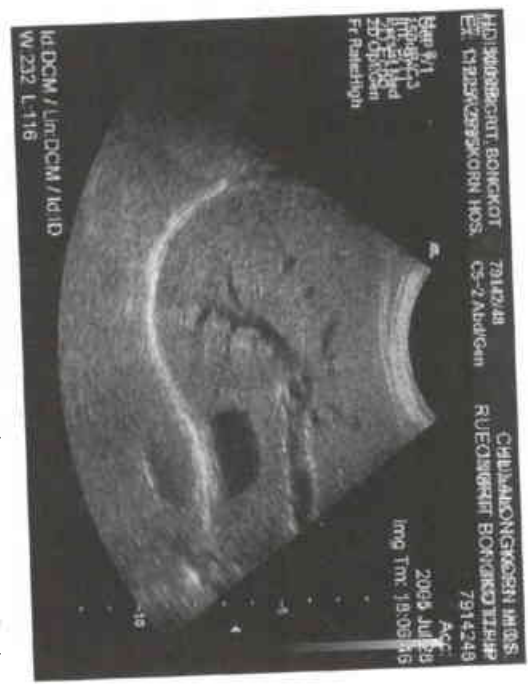
พยาบาลเตือนพยาบาลว่า มี Homogenous increased parenchymal echo of liver ให้ลองต่อไปโดยการตรวจทางห้องปฏิบัติการ bile duct และ intrahepatic duct ปกติ แต่ LFT ถูกต้อง “mixed hepatocellular และ cholestasis” ที่ 1 mild hepatitis ต้องกลับไปปฏิบัติการผ่าตัด แต่ ALT

สูง “ไม่สามารถตัดสินใจได้” แต่ “ถ้าเป็นจริงจะยังคงปลอดภัย” ให้ลองต่อไปโดยการตรวจทางห้องปฏิบัติการ ที่โรงพยาบาลชั้นนำ ร้าน ALP ก่อนผ่าตัดจะดีกว่า “ถ้าเป็นจริงจะยังคงปลอดภัย”

1. โรคที่เกี่ยวข้องกับการผ่าตัด เช่น

- **Bile duct injury** แล้วนำไปสู่การติดแยกข้อมูลท้องเนื้อ รักษาด้วยวิธีที่ดีที่สุด “ถ้ามีผลลัพธ์ที่ดีจะดีกว่า” แต่ “ถ้าไม่ดีจะดีกว่า”
- **Cholangitis** อาการต่างๆ ลักษณะที่ดีที่สุด “ถ้ามีผลลัพธ์ที่ดีจะดีกว่า” แต่ “ถ้าไม่ดีจะดีกว่า”

羌羌ທ່ອນ໌ເສີ້ມືດປະກິບໃຈໄມໆ ແລ້ວ ultrasound upper abdomen ພັງເກົ່າ dilatation of right intrahepatic bile duct (more pronounce in the posterior branch) possible for obstruction at origin of right intrahepatic bile duct ດັງແລດຕະໄໝນາພາຫີ



ກາພົ່າ 1 Ultrasound upper abdomen ພັງເກົ່າ right intrahepatic bile duct dilatation

dilatation

ຝຶກ CT scan of upper abdomen ຕ່ອບເພື່ອນາສານທຸກຈຸດທີ່ຂອງ right intrahepatic bile duct ຫຼືງວ່າ tapered narrowing of distal common hepatic duct, causing dilatation of intrahepatic bile duct, more pronounce in right hepatic lobe, with no demonstrable mass or opaque store, common hepatic duct stricture is possible ດັ່ງແລດຕະໄໝນາພາຫີ 2



ກາພົ່າ 2 CT scan upper abdomen ພັງເກົ່າ right intrahepatic bile duct dilatation ໄດ້ໄດ້ມີສໍານັກແຮດຕະກາຫຼາຍກາຊົດຕີ້ນຂອງ right intrahepatic bile duct ໄດ້

(

ທີ່ຈຶ່ງຈາກນີ້ໄດ້ທຳ ERCP ພັງເກົ່າ disappearance of right posterior branch of intrahepatic duct ດັ່ງນາພາຫີ 3 ແລະ ຕຣາຈີນຢືນຢັນໄດ້ການທຳ percutaneous transhepatic cholangiography ພັງເກົ່າ complete obstruction at proximal right main intrahepatic bile duct causing marked dilatation of right intrahepatic bile duct ດັ່ງແລດຕະໄໝນາພາຫີ 4



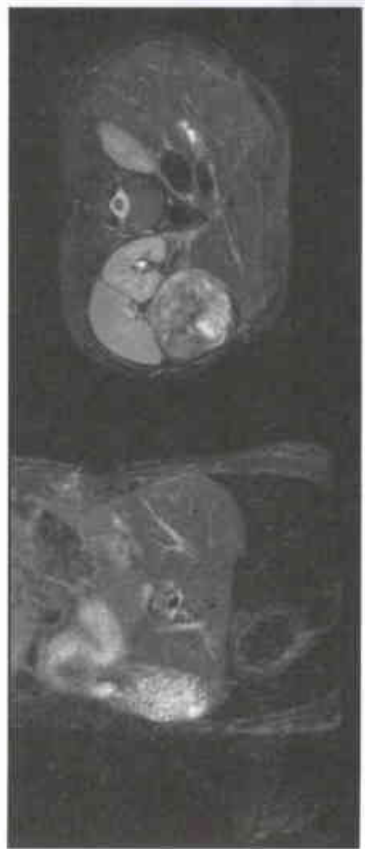
ກາພົ່າ 3 ERCP ພັງເກົ່າ right posterior branch ແລ້ວ intrahepatic bile duct ມາຢູ່ໃນ



ภาพที่ 4 Percutaneous transhepatic cholangiography แสดง รอยกว้างของ right posterior branch of intrahepatic bile duct

Final diagnosis: Chronic abdominal pain from bile duct stricture post cholecystectomy

Progression



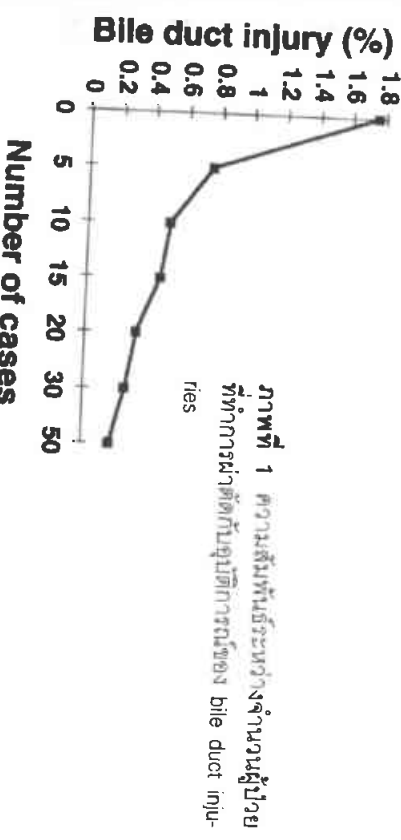
ภาพที่ 5 แสดง MRCP ภายในหลอดอาหารทั้งด้านซ้ายและด้านขวา หลังจากการผ่าตัด Roux-en-Y hepatojejunostomy “ไม่พบภาวะ intrahepatic bile duct dilation และ anastomosis ระหว่าง right main intrahepatic bile duct กับ jejunal loop ปกติ

ผู้ป่วยรายนี้ได้รับการวินิจฉัยว่ามี right posterior branch of intrahepatic bile duct stricture จึงได้ทำการผ่าตัด ฯ ตาม operative findings พบว่ามี complete stricture of right intrahepatic bile duct และได้ทำการ Roux-en-Y hepatojejunostomy (side to side) และ jejuno-jejunostomy หลังจากผ่าตัด อาการปวดท้องหายไป ไม่พบภาวะหลอดอาหารทึบตัน หลัง liver function test ก็ไม่พบปัจจุบัน ผลการตรวจทางห้องปฏิบัติแพทย์ magnetic resonance cholangiopancreatography (MRCP) เพื่อประเมินอีกครั้งหลังผ่าตัด 3 เดือน พบร้า No peripheral intrahepatic bile duct dilatation. The anastomosis between main right intrahepatic bile duct

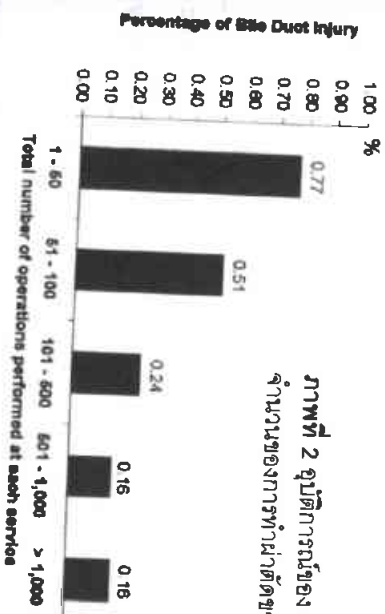
and jejunal loop appear normal. The left hepatic bile duct, CHD and CBD are also normal. the main pancreatic duct appears normal. No filling defect in the biliary system is seen ดังแสดงในภาพที่ 5

Bile Duct Injuries

บันทึก
ศัลยแพทย์ผู้เชี่ยวชาญ
เรื่องพยาบาลทางห้องตัด



ภาพที่ 1 ความเสี่ยงพัฒนาขึ้นตามจำนวนผู้ป่วย
ที่ทำการผ่าตัดกับอุบัติการณ์ของ bile duct injuries



ภาพที่ 2 อุบัติการณ์ของ bile duct injuries ตาม
จำนวนของการผ่าตัดของสถาบันต่างๆ

สำหรับดูถูกน้ำดีทั้งหมด open cholecystectomy และ laparoscopic cholecystectomy รวมถึงการผ่าตัดเปลี่ยนตับ (orthotopic liver transplantation) และการผ่าตัดเปลี่ยนตับแบบหัวใจเดิม (heart-lung machine) หลังจาก open cholecystectomy จะพบ bile duct injuries "ไดรชูล" 0-0.5 เมตร laparoscopic cholecystectomy ไม่ท่วงต้นอย่างหนาแน่น 1990⁴ ปัจจุบันส่องในภารกิจ bile duct injuries "ไดรชูล" เทคนิค Laparoscopic cholecystectomy ของศัลยแพทย์ที่นิยมสุดในปัจจุบัน "ไดรชูล" ได้มาจากงานของการศึกษา Laparoscopic cholecystectomy learning curve จะเห็นได้จากงานของการศึกษา Laparoscopic cholecystectomy มีอัตราการเกิด bile duct injuries ค่อนข้างสูง แต่เมื่อจะมีประสบการณ์ไปอีกครั้งหนึ่งก็ลดลง ตัวอย่างที่ 1 เมตร 2⁵ ศัลยแพทย์ที่มีประสบการณ์ในการผ่าตัดมากขึ้นจะมีความเสี่ยงในการทำให้เกิด bile duct injuries ที่ลดลง แม้กระทั่งผู้เชี่ยวชาญเช่น Bergman และคุณ "ได้จำแนกชนิดของ postoperative bile duct injuries ไว้ดังนี้

1. Type A มีการร้าวของ cystic duct หรือ มีการร้าวเล็กน้อย (minor leakage) อาจส่วนใหญ่เป็นรอยหล่อหลอมที่ไม่ถูกซ่อนอยู่ใน gall bladder bed มีผู้กล่าวไว้ว่า หลังจากที่ผ่าตัด laparoscopic cholecystectomy "ไม่สำคัญ" ประมาณ 50 รายจะมีอัตราการเกิดการร้าวหายใจอย่างมาก แม้กระทั่ง "ไปตัดดิน"

3. Type C ห้องน้ำดีที่ไม่รั่ว โดยไม่มีการร้าวของห้องน้ำดี
4. Type D ห้องน้ำดีที่รั่ว (bile duct)

การประเมินภาพโดยเครื่องท่อน้ำตันสามารถวินิจฉัยได้โดย investigation หลักอย่าง เช่น ultrasound, CT scan, cholescintigraphy, magnetic resonance cholangiopancreatography (MRCP), endoscopic retrograde cholangiopancreatography (ERCP) หรือ percutaneous transhepatic cholangiography (PTC) การตรวจ cholangogram เป็นการตรวจที่จะให้ข้อมูลได้มากที่สุดทั้งในด้านการวินิจฉัยและไม่ใช่การผ่าตัด

การผ่าตัด (operation) ที่นิยมใช้ในการผ่าตัดน้ำดีตามที่ได้เป็น 2 ชนิด ใหญ่ๆ คือ

1. ห่องน้ำดีร้าว (bile leak)
2. ห่องน้ำดีตีบ (bile duct strictures)

ก่อเกิดร้าว (bile leak)

ห่องน้ำดีร้าวนเป็นสาเหตุที่สำคัญที่ทำให้เกิด intraoperative complication และตัวตนมาได้from ลักษณะของการผ่าตัดที่ไม่ได้ตามที่ต้องการ ห้องน้ำดีร้าวนที่พบได้บ่อยๆ ได้แก่ open cholecystectomy และ laparoscopic cholecystectomy เป็น open cholecystectomy สามารถดำเนินการได้ด้วยทางธรรมชาติของกระบวนการผ่าตัด

■ Cholecystectomy (open or laparoscopic)

1. Cystic duct stump leak เนื่องจากขาดตอน clip หรือ ligation หรือ การขาดขาดของส่วนปลาย cystic duct remnant ที่อยู่เพียงส่วนเล็กๆ ซึ่ง cystic duct remnant ทำให้เกิดไม่ได้ การเนื้อตาย (necrosis) ของ cystic duct remnant ทำให้เกิดไม่ได้
2. Common bile duct injury และมีอาการร้าวตามมาภายหลังการผ่าตัด clip ผิดตำแหน่ง ภาระกดเดียว electrocautery หรือ laser, การตึงริมปากเกินไปของ cystic duct
3. การผ่าตัดในส่วนของ segmental หรือ subsegmental bile duct ในกรณีที่มี anatomical variation
4. การร้าวจาก intrahepatic bile ducts ที่มีข้อต่อหลังจาก pericystectomy สีฟ้าหรือ hydatid cyst
5. การร้าวจาก intrahepatic bile ducts หลังการผ่าตัดสำหรับ hepatic trauma

การวินิจฉัย

การสร้างเส้นทางที่เข้าไปในการวินิจฉัยที่ภาคเรียนและ “ได้รับการรักษาอย่างทั้งหมด” ผู้ป่วยที่มีห้องน้ำดีร้าวนจะมีตัวบ่งชี้การ malaise, คลื่นไส้อาเจียน ไข้ ตานเหลืองทั้งหลัง ปวดท้องหรือปวดครั้งๆไปและมีก้อนฯ ภาระตัวหนา bilious ascites หรือ palpable biloma น้ำมูกเมืองขาวข้นในกรณีบีบตัน เศรษฐกิจพยาบาลที่มีความรุนแรง ห้องน้ำดีร้าวนที่มีความรุนแรงมากจะต้องถูกผ่าตัดทันที แม้จะมีค่าเสียหายเพิ่มขึ้นก็ตาม ก่อนที่จะผ่าตัดได้

เมื่อสงสัยห้องน้ำดีร้าวน จำเป็นต้องตรวจยืนยันโดย cholangiography ที่ ERCP[®] เพื่อระบุต้นทางของห้องน้ำดีที่ให้การรักษาอย่างทั้งหมด สำหรับผู้ที่ไม่สามารถผ่าน ERCP[®] ได้ สามารถใช้ gall bladder bed เนื่องจาก การตัดต่อ ducts of Luschka ที่สามารถทำการรักษาได้ด้วย ส่วน MRCP หรือ PTC นั้นมีจุดสำรองไว้

■ Surgery involving the common bile duct

1. การผ่าตัดเดียว common bile duct หรือ แขนงหลักที่ main confluence
2. การร้าวจาก choledochotomy
3. การร้าวจาก duct-to-duct anastomosis (ที่ไม่เคยกับใน liver transplantation)
4. การร้าวจาก biliodigestive anastomosis

■ Hepatic surgery

1. การผ่าตัดเดียว common bile duct หรือ แขนงหลักที่ main confluence
2. การร้าวจากท่อน้ำดีที่แยกหรือ clip ไว้ชั่วขณะ hepatic radicle
3. การร้าวจาก intrahepatic bile ducts ที่มีข้อต่อหลังจาก การผ่าตัด liver resection
4. การร้าวจาก intrahepatic bile ducts ที่มีข้อต่อหลังจาก pericystectomy สีฟ้าหรือ hydatid cyst
5. การร้าวจาก intrahepatic bile ducts หลังการผ่าตัดสำหรับ hepatic trauma

สำหรับผู้ที่ failed ERCP หรือกรณีที่ ERCP "ไม่สามารถแสดง intrahepatic anatomy" เดี๋ยวนี้จะมาจาก proximal duct disruption

การรักษา

มีอยู่หนึ่งคือ ใจกลาง D 剥離术 ที่ต้องรักษาโดยการผ่าตัด Roux-en-Y hepaticojejunostomy แล้ว ทำการรักษาหัวน้ำดีที่หันด้านๆ สามารถให้การรักษาโดยการส่องกล้องได้ โดยมีรายงานการรักษาที่ประสบผลสำเร็จมาตั้งแต่ปี 1991⁹ โดยหลักการของภารกุล transpapillary pressure gradient โดยการท้าร่วมกับการใส่ stent¹⁰ หรือ nasobiliary drain¹¹ และ การใส่ stent¹² หรือ nasobiliary drain¹³ อย่างเดียวก็ได้ "ไม่ทำ" endoscopic sphincterotomy ซึ่งในรากทั่วไปนั้น ให้ผล "ไม่ดีมาก" สำหรับในเวลาระยะ 2-3 วัน อีกครา การประสรุปความสำเร็จมากกว่าร้อยละ 90 เม็ดมีหัวหักหักดิบ หรือ stent ที่ใส่ได้ขาดแล้ว หรือเสื่อม化 ตัวตื้น (clogged) หรือเสื่อมตัน (obturate) ได้ ทำให้เกิดภาวะชุดหัวหักหักดิบ หรือเสื่อมตัน ใหม่ ส่วนการใส่ nasobiliary tube นั้น ผู้ป่วยต้องอยู่โรงพยาบาล และการรักษาที่หัวหักหักดิบ ให้ผู้ป่วยรู้สึกไม่สุขลงอย่างมาก แต่การรักษาโดยการหักหักดิบ Botulinum toxin เข้าไปที่ Sphincter of Oddi ในสูตรน้ำ ก็มีผลทำให้ pressure ลดลงได้เช่นกัน¹⁴

สำหรับ type B เนินบุ้ง นั้นหากจะนิยามได้ ขนาด 10-11.5 Fr เพื่อบypass ลักษณะที่ได้รับมาตั้งเริ่ม และทำให้หัวหักหักดิบหัวหักหักดิบได้ต่อไป percutaneous drainage เพื่อรักษา localized bile collection สะโพกที่น้ำ การใส่ percutaneous drainage เพื่อรักษาในกรณีที่หัวหักหักดิบเป็นมาตั้งเริ่ม นาน สามารถทำได้เพื่อช่วยในการรักษาในกรณีที่หัวหักหักดิบเป็นมาตั้งเริ่ม แม้จะทำให้เกิดการรั่วปริมาณมากที่ก่อให้เกิด intra-abdominal fluid collection¹⁵

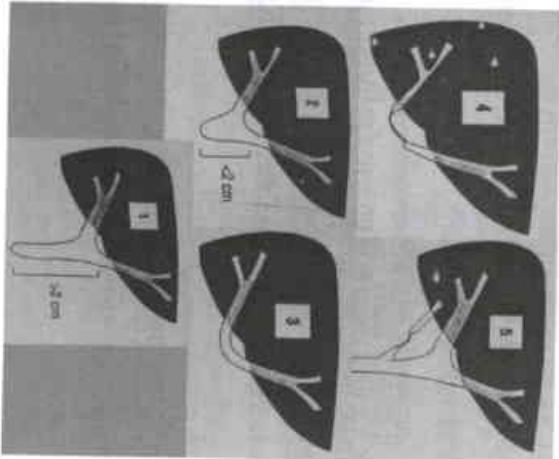
ก้อนน้ำดี (bile duct stone)

พยาธิค่านิยมในภารกุล bile duct strictures นั้นเกิดได้จาก 2 สาเหตุ ได้แก่

1. การบาดเจ็บโดยธรรมชาติที่นำมายังส่วนหัวหักหักดิบโดย clipping หรือ การผูกหัวหักหักดิบ (ligation)
2. ผลจากการขาดเลือดไปถึงหัวหักหักดิบ (ischemic insult) จากการตัด เส้นเลือด หรือความร้อน (thermal injury)

ได้มีการจำแนกการตัดป้องหัวหักหักดิบตาม Bismuth's classification ได้ 5 แบบ ดังนี้¹⁶ ดังแสดงในภาพที่ 8

- Type I involve low common hepatic duct or common bile duct with normal hepatic stump > 2 cm
- Type II hilar stricture with preserved ductal confluence
- Type III destruction of confluence
- Type IV destruction of confluence
- Type V right hepatic duct with or without common bile duct injury



ภาพที่ 8 ชนิดของ bile duct strictures จำแนกตาม Bismuth's classification

พูดง่ายๆ คือการอุดตันของทางเดินท่อน้ำดีแบบ cholestasis เมื่อได้รับการรีบดีไซต์ที่ดีแล้ว ก็จะได้รับการรักษาอย่างถูกต้องทันท่วงที เพื่อป้องกันไม่ให้เกิดภาวะแทรกซ้อนต่อไป ด้านล่างนี้จะขอสรุป

Reference:

- Bates T, Ebbs SR, Harrison M, A'Hern RP. Influence of cholecystectomy on symptoms. *Br J Surg* 1991;78:964-7.
- Ferster LF, Lomborg R, Thrifby RC, Traverso LW. What symptoms does cholecystectomy cure? Insights from an outcomes measurement project and review of the literature. *Am J Surg* 1995;169:533-8.
- Cotamagna G, Shah SK, Tringali A. Current management of postoperative complications and benign biliary strictures. *Gastrointest Endosc Clin N Am* 2003;13:635-48.
- Diamantis T, Tsigris C, Kriakopoulos A, Papalambros E, Brarris J, Michail P, et al. Bile duct injuries associated with laparoscopic and open cholecystectomy: An 11-year experience in one institute. *Surg Today* 2005;35:841-5.
- Savassi-Rocha PR, Almeida SR, Sanches MD, Andrade MAC, Ferreira JT, Diniz MTC, et al. Iatrogenic bile duct injuries. *Surg Endosc* 2003;17:1356-61.
- Bergman JJ, van den Brink GR, Rauws EA, de Wit L, Oberstopf H, Hulbrechtse K, et al. Treatment of bile duct lesions after laparoscopic cholecystectomy. *Gut* 1996;38:141-7.
- Mehra SN, Pavone E, Barkun JS, Cortes GA, Barkun AN. A review of the management of post-cholecystectomy biliary leaks during the laparoscopic era. *Am J Gastroenterol* 1997;92:1262-7.
- Bjorkman DJ, Carr-Locke DL, Lichtenstein DR, Ferrari AP, Slivka A, Van Dam J, et al. Post-surgical bile leaks: endoscopic obliteration of transpapillary pressure gradient is enough. *Am J Gastroenterol* 1995;90:2128-33.
- Brinmoeller KF, Katon RM, Shneidman R. Endoscopic management of postoperative biliary leaks. Review of 77 cases and report of two cases with bilioma formation. *Am J Gastroenterol* 1991;86:227-31.
- Ligurio C, Vitale GC, Lefebvre JF, Bonnel D, Cornud F. Endoscopic treatment of post-operative biliary fistulae. *Surgery* 1991;100:779-84.
- Ponchon T, Galley JF, Valette PJ, Chavallion A, Bory R. Endoscopic treatment of biliary tract fistulas. *Gastrointest Endosc* 1989;35:490-8.
- Chow S, Bosco JJ, Heiss FW, Shea JA, Qaseem T, Howell D. Successful treatment of post-cholecystectomy bile leaks using nasobiliary tube drainage and sphincterotomy. *Am J Gastroenterol* 1997;92:1839-43.
- Marks JM, Ponstky JL, Shillingstad RB, Singh J. Biliary stenting is more effective than sphincterotomy in the resolution of biliary leaks. *Surg Endosc* 1998;12:327-30.
- Sugiyama M, Mori T, Atomi Y. Endoscopic nasobiliary drainage for treating bile leak after laparoscopic cholecystectomy. *Hepatogastroenterology* 1999;46:762-5.
- Marks JM, Bower AL, Goormastic M, Matych JL, Ponstky JL. A comparison of common bile duct pressure after botulinum toxin injection into the sphincter of Oddi versus biliary stenting in a canine model. *Am J Surg* 2001;181:604-6.
- Chapman WC, Halevy A, Blumgart LH, Benjamin IS. Postcholecystectomy bile duct strictures. *Arch Surg* 1995;130:597-604.
- Lillemore KD, Melton GB, Cameron JL, Pitt HA, Campbell KA, Talminni MA, et al. Postoperative bile duct strictures: Management and outcome in the 1990s. *Ann Surg* 2000;232:430-41.
- Sicklick JK, Camp MS, Lillemore KD, Melton GB, Yeo CJ, Campbell KA, et al. Surgical management of bile duct injuries sustained during laparoscopic cholecystectomy: perioperative results in 200 patients. *Am Surg* 2005;24:1:786-92.
- Pitt HA, Miyamoto T, Parapatls SK, Tompkins RK, Longmire WP Jr. Factors influencing outcome in patients with post-operative biliary strictures. *Am J Surg* 1992;144:14-21.
- Frattaroli FM, Reggio D, Guadalupe A, Iliomai G, Pappalardo G. Benign biliary strictures: a review of 21 years of experience. *J Am Coll Surg* 1996;183:506-13.
- Tocchi A, Mazzoni G, Liotta G, Costa G, Lepre L, Miccini M. Management of benign biliary strictures: biliary enteric anastomosis vs endoscopic stenting. *Arch Surg* 2000;135:153-7.
- Pitt HA, Kaufman SL, Coleman J, White RI, Cameron JL. Benign postoperative biliary strictures: operate or dilate? *Ann Surg* 1989;217:237-43.
- Bergman JJGHM, Burgemeister L, Bruno MJ, Rauws EA, Gouma DJ, Tytgat GN, et al. Long-term follow-up after biliary stent placement for postoperative bile duct stenosis. *Gastrointest Endosc* 2001;54:154-61.

24. Dumonceau JM, Deviere J, Delhaye M, Baize M, Cremer M. Plastic and metallic stents for postoperative benign biliary strictures: the best and the worst. Gastrointest Endosc 1998;47:8-17.
25. Smith MT, Sherman S, Lehman GA. Endoscopic management of benign strictures of biliary tree. Endoscopy 1995;27:253-66.
26. Davids PH, Tankar AK, Rauws EA, van Gulik TM, van Leeuwen DJ, de Wit LT, et al. Benign biliary strictures. Surgery or Endoscopy? Ann Surg 1993;217:237-43.
27. Lopez RR, Cosenza CA, Lois J, Hoffman AL, Sher LS, Noguchi H, et al. Long-term results of metallic stents for benign biliary strictures. Arch Surg 2001;136:664-9.

GI Interhospital Conference 2

พญ.สุวารินทร์ เลิศรอมฤตวงศ์
กองสาธารณสุข มหาวิทยาลัยเชียงใหม่



ผู้ป่วยชายไทยครุาย 34 ปี อาชีวพรับน้ำชาการทหาร ภูมิลำเนา กทม.
CC: Consult GI ตัวอย่าง เช่น ถ่ายอุจจาระเป็นสีดีดัดสีดาและไข้เรื้อรังพยาบาล
2 สัปดาห์

PI: 2 วันก่อนเข้ามาโรงพยาบาล ผู้ป่วยมีอาการปวดท้องร้าวเรื้อรัง ลิ้นแข็ง กินอาหารได้ดีบ้างดี ไม่ทานอาหารให้คลินิกได้ยามากิน อาการร้าวหายเล็กๆ
1 ชั่วโมง ก่อนนี้ มีอาการซึมดีดึงดูดท้องซึมดีดึงดูดท้อง 5 นาที หลังจากหยุด

หายลงอาการดีขึ้นๆ ไม่มีไข้ ไม่อาเจียน ไข้ติดเชิงพานาเรืองพยาบาล
ที่โรงพยาบาล ได้ตัวตรวจทางห้องปฏิบัติแพทย์ และทำ CT brain ไม่พบ
ความผิดปกติ แต่ตรวจเลือดพบ amylase 1,208 IU/L, lipase 3,624 IU/L จึง
ให้นอนโรงพยาบาลเพื่อทำการรักษาและสังเกตอาการ

Physical examination (ngoạiรับ)

V/S: T 38.2°C PR 92/min RR 20/min BP 170/110 mmHg

GA: drowsiness, not pale, no jaundice, no edema, no signs of chronic liver disease

Heart: regular HR, no murmur

Lung: clear

Abdomen: decreased bowel sound, soft, mild tender at epigastrium.

no guarding, no rigidity

NS: no localizing sign ร้ามราที่ admit ผู้ป่วยมีไข้สูง ประเมิน severity มาก acute pancreatitis ด้วย Ranson's criteria พล ร้ามเป็น mild pancreatitis

2 วัน ต่อมาน้ำดีป่วยมี cardiac arrest "ไม่หายใจได้" ประเมิน severity มาก acute pancreatitis ด้วย Ranson's criteria พล ร้ามเป็น mild pancreatitis

2 นาที จึงย้ายเข้า ICU หลังจากนั้นเกิดภาวะแทรกซ้อน hypotension, acute renal failure และภาวะ ischemic hepatitis "ได้ supportive treatment, ให้ antibiotics, ห้าม hemodialysis และสามารถหยดยา inotropic drugs "ได้ ภายใน 5 วัน หลังจากนั้นผู้ป่วยดีขึ้นมาก หายใจได้ดี ออกจากห้อง ICU

2 สัปดาห์ หลังจากนั้นไข้พยาบาล มีปัสสาวะถ่ายอุจจาระเป็นเลือดสด ปรับระดับน้ำ 200 มิลลิลิตร NG tube lavage "ได้เจ้าตัว" ได้ irrigate ประมาณกัน 500 มิลลิลิตร F/U Hct drop จาก 33% เป็น 23% จึง consult GI

PH: ต่ำสุด 1 ไข้เด็ก × 10 บี

ไข้สูง 1/2- 1 ช่องร้าม

ค่านี้เป็นภาวะตัวภัยแบบนี้แล้ว 5 เดือนก่อน ร้ามราที่พยาบาล ศรีษะบุ้งบูง ไม่มียานานประจํา เคดิโนนยา amphetamine เมื่อ 10 ปี ก่อน ตอนนี้ไม่ได้ใช้แล้ว

Physical examination (ขณะรับ consult)

V/S: T 39°c PR 100/min BP140/90 mmHg RR on respirator

GA: Fully conscious, mild pale, mild jaundice, on ET tube

Heart: No murmur, regular HR

Lung: Clear

Abdomen: Soft, moderate tender at epigastrium, no guarding, no rigidity, hypoactive bowel sound

Laboratory

BUN/Cr:

Hct 23.9% Hb 8.2 g/dL WC 15,000/mm³, N 92%, L 5.8%, M 1.1% plt 160,000/mm³ MCV 87 fL

INR: 1.2

Alb 2.9/g/dL, Glob 3.3 g/dL, AST 51 U/L, ALT 47 U/L, TB 25 mg/dL, DB 2.5 mg/dL, ALP 211 U/L

LFT:

103/8.9 mg/dL

Discussion

ปัสสาวะของผู้ป่วยคนนี้ มี 2 เครื่อง คือ

1. Acute pancreatitis
2. Gastrointestinal (GI) bleeding

ปัสสาวะของผู้ป่วยคนนี้ มี 2 เครื่อง คือ

จากประวัติเรื่องไข้ปอดท้องและไข้เดือนสิบ เป็นภาวะตัวภัยที่มีสุราค่อนข้างมาก 1 ถูก การตรวจร่างกายมี hyperactive bowel sound, mild tender at epigastrium และ amylase, lipase ที่สูงมากกว่า 3 เท่าของค่าปกติ สาเหตุของ acute pancreatitis นี้เกิดจาก alcohol มาตรฐาน

จากการประเมิน Ranson's criteria ภายใน 48 ชั่วโมง ข้อมูล admission เท่า 2 ศักยภาพ (BUN, LDH) และในช่วง 48 ชั่วโมงพยาบาลมีภาวะแทรกซ้อน cardiac arrest, ณ organ failure น่าจะเป็น severe pancreatitis มากกว่า 1 ถึง 2 ทั้งนี้เกิด complication ที่เกิด "ได้" เช่น pancreatic necrosis, pancreatic abscess ซึ่งเป็นสาเหตุของไข้ในผู้ป่วยรายนี้ได้ แต่ก็มีร่องรอยศีวิต่อ การนี้เป็น pancreatic necrosis ควรจะมี onset นานกว่า 48 ชั่วโมง แต่ empirical antibiotic ไปก่อน และจะผล hemoculture อีกครั้ง

PR: normal sphincter tone, no rectal shelf, fresh blood +

เป็นสาเหตุ GI bleeding ที่จะแยกกันได้ใน upper หรือ lower GI bleeding คือ หากประวัติผู้ป่วยเดินอยู่ดูดซ่านเป็นเวลากว่า 10% ก็มีส่วนมากและกว้าง lower GI bleed กับ massive upper GI bleed ได้รักษาท่า NG tube lavage ได้ coffee ground ทั้งท่า EGD ก่อนและถ้าไม่พบสีเหลืองเข้ม colonoscopy หรือ CT

สาเหตุ upper GI bleed ที่เป็นไปได้ ในผู้ป่วยรายนี้ คือ

1. สมพันธ์กับการติด pancreatic pseudaneurysm

Hemosuccus pancreaticus

Gastric variceal bleeding เนื่องจาก splenic vein thrombosis

2. สาเหตุอื่นๆ

Peptic ulcer disease ที่มี stigmata ของ active bleeding

Variceal bleeding หากผู้ป่วยมีประวัติ chronic alcohol consumption

Ectopic varices

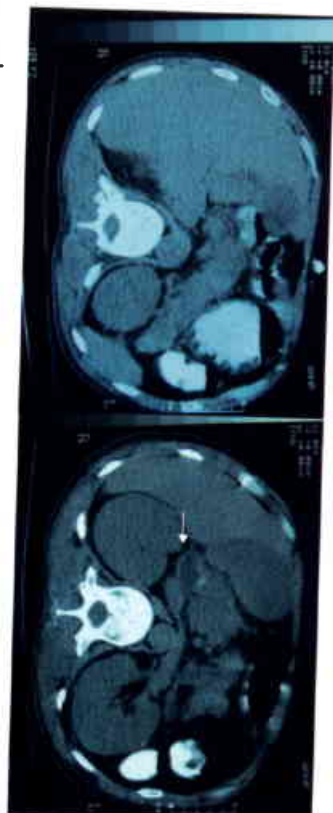
3. Mesenteric ischemia เพาะเชื้อในกระเพาะอาหาร hemodynamic instability และมี cardiac arrest นำมาถ่าย CT และ GI follow through ศึกษาที่น้ำ

ผู้ป่วยเดินทาง EGD พบ erythematous submucosal mass ก่อตัวจาก posterior wall ของ duodenum และมี bleeding ulcer on top และมีซามาระสีน้ำเงิน กลิ่นไข่ไก่ (ภาพที่ 1) จึงได้ส่ง CT abdomen พบ pancreas บวม และมี cystic lesion ก่อตัว second part ของ duodenum (ภาพที่ 2) ท่า sided-view duodenoscope (ภาพที่ 3) และ GI follow through (ภาพที่ 4)

Final diagnosis: Intramural duodenal pseudocyst with bleeding

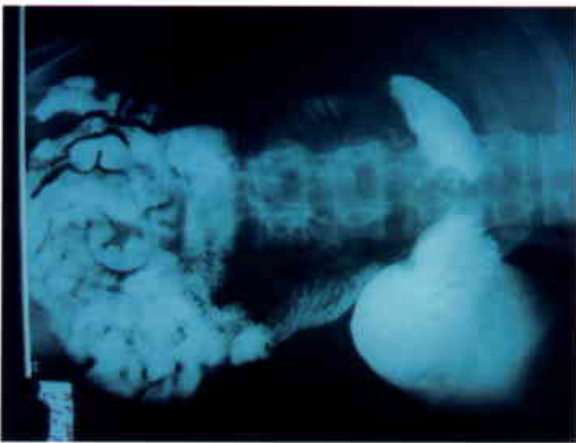


ภาพที่ 2 CT upper abdomen found swelling of pancreas, cystic lesion compress second part of duodenum (white arrow) which contained contrast laid on anterior surface of cystic lesion



ภาพที่ 3 Sided-view duodenoscope; contrast media was injected at the opening of submucosal mass, contrast filled in tubular structure along the course of duodenum. Multiple filling defect from blood clot into the intramural duodenal lesion.





ภาพที่ 4 GI follow through: Thickened duodenal folds, narrowed duodenal lumen and an intramural mass were identified (sharp angle mass creates with the lumen, preservation of mucosal feature and smooth convex appearance of the mass)

หลังผ่าตัดครั้งปฐมภัย 1 สัปดาห์มี active bleeding อีก จึงได้ทำการ second operation หากศัลยกรรมเสร็จ repeat explore lap ฉีกครึ่ง pyl ด้วย mild gastritis, swelling mucosa with 2 duodenal ulcers but no active bleeding จึงได้ทำการ suture stop bleeding, truncal vagotomy and pyloroplasty หลังจากนี้มี recurrent bleeding หลายรอบ ได้ทำการ duodenoscopy และได้ใส่สาย cannulate หลังจากนั้นก็ไม่มี active bleeding และไม่มีเวชภัย ดำเนินการต่อไป

Progress note

1. เริ่มต้น acute pancreatitis ได้ให้ fluid resuscitation อาการป่วยทึบๆ หายดี ริดสีน้ำเงิน จาก CT upper abdomen รูปแม่ pancreatic swelling, no area of necrosis, no pseudocyst ติดตามผู้ป่วยประมาณ 4 สัปดาห์ พะก้า pancreas ยุบประมาณ และ amylase, lipase ลงสักหมู่ค่าปกติ
2. Upper GI bleeding เนื่องจาก endoscopic failure จึงได้ทำการ embolization ไป 2 ครั้ง ครั้งแรกที่ gastroduodenal artery และครั้งสองจะทำที่ inferior pancreaticoduodenal artery แต่ไม่สำเร็จและไม่เห็นความผิดปกติของ vascular structure หรือ จุด bleed ได้ จึงปรึกษาศัลยแพทย์ gastro explore laparatomy Operative note of Explore lap with duodenectomy and simple suture on bleeding point

- No intraabdominal fluid
- Normal spleen, liver and stomach
- Swelling of entire pancreas with saponification
- Densed adhesion around C-loop of duodenum

- Swelling pyloric channel
- Primary suture of two bleeding point (end spouting vessel) on 1st to 2nd part duodenum
- Identified ampulla and good bile flow

Intramural duodenal pseudocyst

Natural history of pseudocyst

การเกิด pseudocyst ร้อยละ 5-15 ใน acute pancreatitis จะเกิด 1-4 สัปดาห์ หลังเกิด acute pancreatitis และร้อยละ 20-40 ใน chronic pancreatitis³ pseudocyst จะเกิดต่อเนื่องโดยดำเนินไปได้ ตามนี้ pseudocyst

1. Intrapancreas

พยุงตุ๊กตา เนื้อเยื่อมากมาย

กองจลนทุกครั้ง ทำเส้นทางที่สันติทั่วไป ภาวะตับปะอ่อน

2. Unexpected location³

- Mediastinum

- Groin

- เกล้า pancreas เท่านั้น lesser sac และ anterior pararenal space

- ผนังสำลัก

ภาวะเสียดออกจากทางเดินอาหารส่วนต้นที่หัวสันทิ้งกับภาวะตับปะอ่อน อันนำไปสู่พัฒนาหล่ายสาเหตุ “ได้แก่”

1. Stress gastropathy from acute erosive gastritis

2. Gastric variceal bleeding associated with splenic vein thrombosis

3. Hemosuccus pancreaticus

4. Pancreatic pseudocyst bleeding

a. Pseudoaneurysm

b. Rupture pancreatic pseudocyst

c. Intramural Duodenal Hematoma

Pathogenesis ของ Intramural duodenal pseudocyst bleeding⁴

การเกิดภาวะ Intramural duodenal pseudocyst bleeding หรือภาวะ

1. Uncontrolled severe inflammation และ activated lytic enzymes เช่น elastase และ trypsin จะไปย่อย elastic component ทำให้เกิด erosion และ disruption ของผนังไส้เลือด

2. Inflammatory process และ pseudocyst อาจกดทับหรือทำให้เกิด thrombosis ที่ portal หรือ splenic vein เกิด portal hypertension

ในที่นี้จะสร้าง intramural duodenal pseudocyst ที่พบค่อนข้างน้อย ส่วนใหญ่เป็น case report มีการรายงานตั้งแต่ ศ.ศ. 1958² พ.ศ. 11 ราย จักษุภาพฯฯ ยุค Gl series พบ pseudocyst ที่ second part ของ duodenum

เป็นส่วนใหญ่ เมื่อหาจุดได้แล้วแล้ว first จนถึง third part บ่ากุญแจ กษา CT scan มีภาพมากขึ้นในการเข้ามาที่สำคัญประมานความรุนแรงและภาวะทางห้อง幽門ของภาวะตับอย่างชัดเจน ที่ง่ายดายบันสานการณ์ตามน้ำมันใน การวินิจฉัยภาวะ duodenal pseudocyst “ได้”

อาการและภาระอันเกี่ยวกับ

1. อาการรุนแรง acute pancreatitis (ปวดท้อง กัดเจ็บ RUQ คลื่นไส้ อาเจียน ไข้)

2. Gastric outlet obstruction

3. UGIB

4. Bleeding เสื้าไปใน peritoneal cavity หรือภายในกระเพาะ

5. Infection

- a. รีบูตในผู้ป่วยที่มีภาวะแทรกซ้อน ลิอดด์ชาร์กันร่วมกับยาต้านเชื้อ
- b. Failed endoscopic drainage
- c. Radiologic intervention โดย angiographic embolization

Laboratory

- Blood chemistry รีบูต serum amylase, lipase เพื่อพิสูจน์
- Endoscopy ตรวจ submucosal duodenal mass with blue discoloration
- GI follow through ตรวจ thickened duodenal folds, narrowed duodenal lumen และ intramural mass (sharp angle mass creates with the lumen, preservation of mucosal feature and smooth convex appearance of the mass)
- CT scan⁷ มากทำเมื่อผู้ป่วยมีอาการแย่ลง จุดประสงค์ของการทำ CT abdomen เพื่อสูงว่ามีภาวะแผลหรือข้อบกพร่องใดที่มีการร้าวที่ไม่ได้มีการรั่วที่อยู่ในกระเพาะ เช่น hemorrhage, abscess or necrosis หรืออีกกรณีที่ไม่ได้มีการรั่วที่อยู่ในกระเพาะ CT ที่พบในกรณีได้แก่

รีบูต evidence ของ acute pancreatitis

Circumferential involvement ของ duodenum หรือ medial posterior wall

รีบูต duodenal

Extension ของ pseudocyst บริเวณหนังของ duodenum เห็นเป็น tubular shape และมี abrupt flattening ของ pseudocyst ที่ขอบของ duodenal lumen



Treatment⁸

1. Symptomatic supportive treatment ก่อนเป็น uncomplicated pseudocyst สามารถรักษาอาการได้ เพราะหากมีภาวะทางเดินอาหารเข้าสู่ท่อได้ pseudocyst ถูกผลิตขึ้นได้
2. Endoscopic drainage
3. Surgical treatment กรณี

Reference

1. Bradley EL III. Arch Surg 1993;128:586-90.
2. Bellon EM, George CR, Schreiber H, Marshall JB. Pancreatic pseudocysts of the duodenum. AJR 1979;133:827-31.
3. Baillie J. Pancreatic pseudocyst (Part I). Gastrointest Endosc 2004;59:873-9.
4. Grendell JH, Cello JP. Chronic pancreatitis. I. Flati G, Salvatori F, Polowska C, Talarico D, Flati D, Propstio E, Talarico M, Carboni M. Severe hemorrhagic complications in pancreatitis. Ann Ital Chir 1995;26:233-7.
5. Baillot JF. Pancreatic pseudocysts: Complications and their relation to the timing of treatment. Surg Clin North Am 1970;50:395-401.
6. Macia JM, Michael PF. CT of Pancreatic pseudocysts of the duodenum. AJR 1985;145:1003-7.
7. Boggs BR, Potts JR II, Postier RG. Five year experience with pancreatic pseudocysts. Am J Surg 1982;144:685-8.

Update management of Hilar Cholangiocarcinoma

พศพ พ. เอช. อรุณรัตน์,
ศ. ธรรม พิริยะนันทน์^{*}

แพทย์ประจำบ้านเก็บตัวอย่างเชิงทางสืบค้นทางการ
ด้วยทางเดินหายใจเพื่อกษา*

กสท. งานอนามัยสหชุมชน โรงพยาบาลมหาสารคาม

Introduction

มะเร็งท่อน้ำดีเป็นมะเร็งที่พบได้บ่อยในประเทศไทย โดยเฉพาะภาค
ตะวันออกเฉียงเหนือ ผู้ป่วยมักมาตัวอย่างยากจนหลังสั่ง ส่วนใหญ่คือ “ในระยะท้าย” 3
หรือ 4 ปี ไม่สามารถหาตัวติดได้ รวมทั้งพากရถึงไม่ได้ ตั้งแต่ “ในระยะต้น”
นี้จะเน้นเกี่ยวกับการรักษาระบบทึบ อาการรุนแรงลงมาก ทำให้ต้องมีการรักษาด้วยวิธีการ
ลดเสียดใหญ่ๆ

Clinical manifestation

“ป้าแม่เรือง” คือ “ผู้ป่วยที่ไม่สามารถเข้าสู่โรงพยาบาลอีกต่อไป”
ท่อน้ำดีอุดตัน ซึ่งทำให้เกิดอาการเหลือง ไข้ ชา ร้าวสีฟ้า ปัสสาวะสี
เข้ม แสดงคุณตามผิวหนัง

ภาวะหอบหืดที่เกิดขึ้นมาจากการอุดตันท่อน้ำดี ทำให้การสูดออกเสียง
ท่อน้ำดี

อาการแสดงทั่วไป เช่น คื่นแพ้อาหาร น้ำหน้าลอก เบื้องขาหัก
เป็นต้น

Investigation

- Tumor marker¹

CA19-9

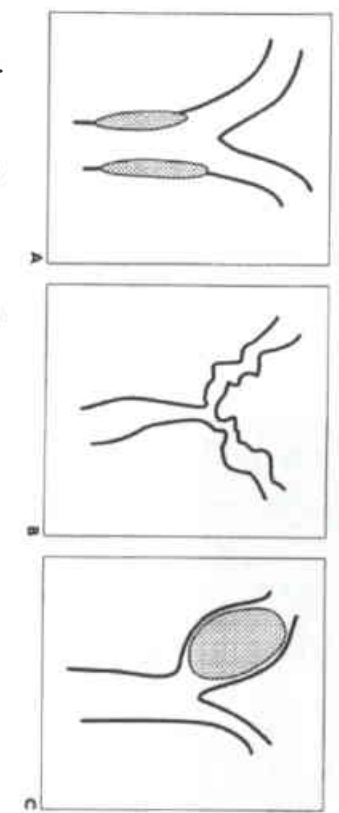
การสังเคราะห์เสื่อมเห็น CA19-9 พวฯ มา กว่าร้อยละ 85 ของมะเร็งท่อน้ำดีที่ตรวจพบขึ้นตั้งแต่ 4 เทพว่า มะเร็งท่อน้ำดีอยู่ 100 ยูนิตต่อมิลลิลิตร พวฯ มีค่าไม่เกิน 53

เมื่อกำจัดโรคมะเร็งแล้วค่าจะกลับมาปกติ “อึ้งก”

ภาวะเหลืองจากท่อน้ำดีบุ้นจางสาเหตุ “ด้าว” เมื่อในรายที่ได้รับการรักษาไม่สำเร็จได้ต้มแล้วยังมีผลลัพธ์ CA19-9 สูงอยู่ติดต่อคงเดิม

ภาวะที่ตัวบ่งชี้ภัยมากเรื่อง

- มะเร็งท่อน้ำดีที่ติดต่อต่ำอย่างมาก
- ภาวะท่อน้ำดีซึ่งมาจากตับ
- ภาวะท่อน้ำดีซึ่งมาจากตับต่ำอย่างมาก
- ภาวะท่อน้ำดีซึ่งมาจากตับต่ำอย่างมาก



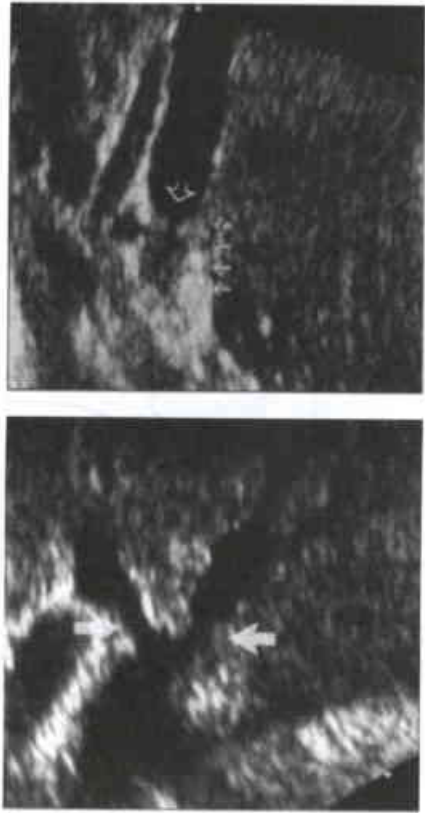
ภาพที่ 1 แสดงลักษณะของมะเร็งจากตรวจ Ultrasonography

- A: Nodular mural thickening
- B: Infiltrative lesions
- C: Polypoid tumor

CEA
พวฯ ร้อยละ 30 ของผู้ป่วยมะเร็งท่อน้ำดีท่อน้ำดีที่ตรวจพบขึ้นตั้งแต่ 40-50 ยูนิตต่อมิลลิลิตร มะเร็งท่อน้ำดีที่ติดต่อต่ำอย่างมาก

มะเร็งท่อน้ำดีที่ติดต่อต่ำอย่างมากที่มีห้องห้อง (peritoneal involvement)

CA125
พวฯ ร้อยละ 40-50 ของผู้ป่วยมะเร็งท่อน้ำดีที่ตรวจพบขึ้นตั้งแต่ 40-50 ยูนิตต่อมิลลิลิตร มะเร็งท่อน้ำดีที่ติดต่อต่ำอย่างมากที่มีห้องห้อง (peritoneal involvement)

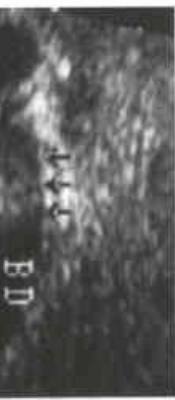


Nodular mural thickening of common hepatic duct
Infiltrative lesions at hepatic confluence

Imaging

1. Ultrasonography²

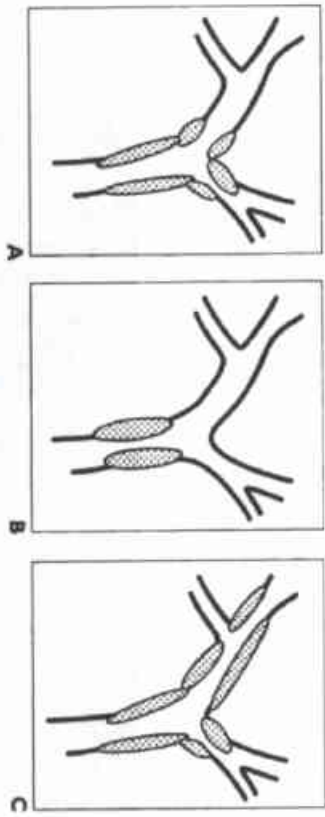
ประเมินรากน้ำดีกากมกรากในกระเพาะปัสสาวะคือการตรวจพยาบาลมะเร็งท่อน้ำดี โดยในการที่นักการแพทย์จะตรวจเชื้าได้บ่อยครั้งเรียกห้องน้ำดีที่ดำเนินมะเร็งท่อน้ำดีเป็นส่วนของการตรวจ Ultrasonography ดังนี้ (ภาพที่ 1, 2)



ภาพที่ 2 แสดงภาพทางการตรวจวินิจฉัย
超声波検査で見つけた胆管の腫瘍

Polyoid tumor appearance

ลักษณะของ nodular mural thickening จะแบ่งย่อยออกเป็น 3 รูปดังนี้
Fig. 3)



A, Tumor at confluence involving common hepatic duct (CHD) and both major branches.

B, Tumor confined to CHD.

C, Tumor at bile duct confluence and right sectorial ducts.

D, Tumor in right duct only.

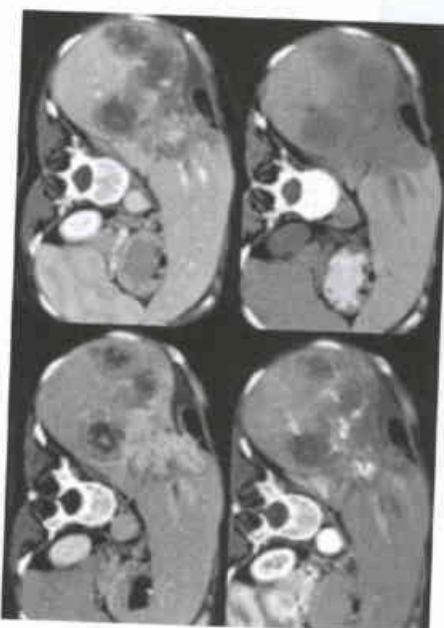
E, Tumor in left duct and CHD.

ภาพที่ 3 แสดงลักษณะของ nodular mural thickening
超声波検査

ข้อศึกษาทางการตรวจ ศีรษะ กอน-invasive procedure วินิจฉัยเมgarvisor ได้ เช่น
นิ่วในถุงน้ำดี สามารถทำ การตรวจได้ในเรื่องพยาบาลทั่วไป และถ้าใช้หินนิค
พิเศษ เช่น Doppler ultrasonography จะบอกได้เช่นเดียวกับที่ทางการระบุว่า
หรืออุดตันจากมะเร็งได้ด้วย
ร่องเส้นทางของกระดูก คือ ร่องเส้นทางซึ่งนำัญช่องแพทย์ผ่านกระดูก อาทิ
ศรีษะพลาสติกแบบ “ไนต์เกน” ที่ small perihilar, periamillary, extrahepatic
duct

2. Computed tomography (CT)

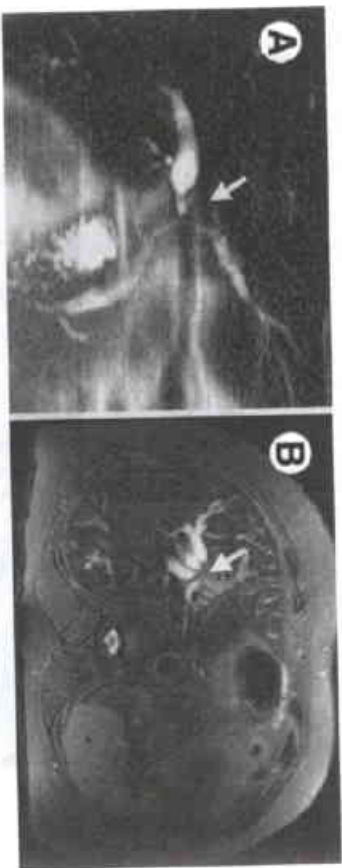
การตรวจด้วยเครื่องคอมพิวเตอร์ฯ ให้ความรู้ที่ดีอย่างมากโดยมีข้อดีคือ ไม่ต้องเจ็บป่วย
อย่างรุนแรง ท่อน้ำดี และเส้นเลือดที่บริเวณข้อต่อ ซึ่งมีความสำคัญ
อย่างมากสำหรับการวางแผนในการผ่าตัดรักษา (ภาพที่ 4) เมื่อไม่ปั้นบุบบันเน่
กากกระดูกเข้ามาอยู่แล้วจะเหลือให้ผ่าที่สามารถให้ห้องน้ำดีได้เท่านั้นหรือ
หากกระดูกขาดเข้ามาอยู่แล้วจะต้องผ่าตัดรักษา ซึ่งทำให้มีความนิยมในการตรวจ
เชิงเรื้อรังเพื่อตัดร่องไว้ในภาวะนี้อย่าง แม่นยำถูกต้องที่สุดในการตรวจ
เชิงเรื้อรังและให้ผลในการผ่าตัด



ภาพที่ 4 แสดงภาพการตรวจด้วยเอกซเรย์คอมพิวเตอร์ (CT scan)
超声波検査

3) Magnetic resonance imaging (MRI) and Magnetic resonance cholangiography (MRC)^{3,5}

เป็นวิธีการตรวจร้ายเพื่อตัดสินใจที่จะมีการผ่าตัด แล้วการกระดูกอย่างละเอียด ไปที่คอมพิวเตอร์ รวมทั้งสามารถดูถึงกังหันทางเดินของตับและท่อน้ำดีที่ต่อไป ภาพที่ 5) ได้ดีเมื่อเปรียบเทียบกับ ERCP ที่นี่ การผ่าตัดทางท่อน้ำดี (endoscopic retrograde cholangiopancreatography) หรือการฉีดสีจากทางผ่านทางผิวหนัง (percutaneous transhepatic cholangiography) หรือการฉีดสีจากทางผ่านทางสิวหนัง (percutaneous transhepatic cholangiography) ในการตรวจร้ายมากในทางเดินร้ายที่ตั้งแต่ต้นทางท่อน้ำดีไปจนถึงตัวตัน การตรวจท้องอย่างละเอียดมากในทางเดินร้ายที่ตั้งแต่ต้นทางท่อน้ำดีไปจนถึงตัวตัน (definite surgery) หรือเพื่อให้ในทางรักษาแบบอาการ (palliative management)



ภาพที่ 5

- A: MRC แสดงถึงลักษณะทางการตัดในแนวขวางท่อน้ำดีที่ตั้งแต่ต้นทางท่อน้ำดีไปจนถึงตัวตัน (ม้าลาย) ลงมา จนถึงหัวต่อไปที่ส่วน common hepatic duct และท่อน้ำดีในตับ เนื่องจากความไม่ราบรื่นอาจเป็นสาเหตุ
- B: Cross-sectional MRI แสดงถึงลักษณะทางท่อน้ำดีที่ตั้งแต่ต้นทางท่อน้ำดีไปจนถึงตัวตัน

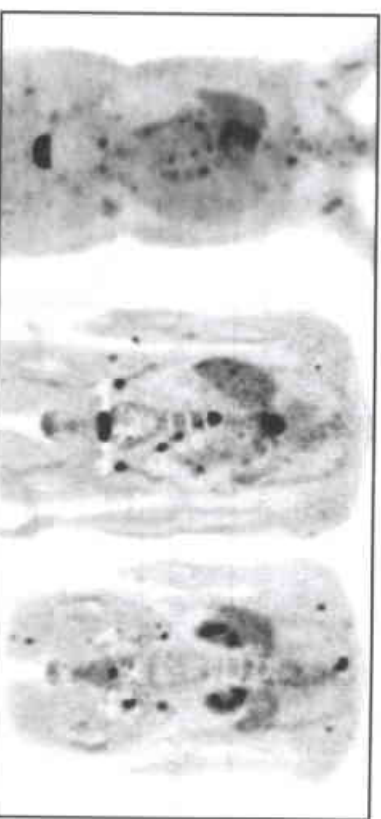
4) Positron emission tomography with ^{18}F -2-deoxy-D-

glucose (FDG)⁶

FDG เป็น positron emitting radiotracer ซึ่งจะถูกนำไปเข้าสู่ภายในเซลล์ หลังจากนั้นเซลล์ส่วนที่เป็นเซลล์癌จะดูดซึมน้ำตาลมากกว่าเซลล์ปกติ ทำให้เกิดการติดตัวที่สูงกว่าเซลล์ปกติ

ความเสี่ยงต่ำสุดเมื่อเรียงตัวไว้ในอัตราส่วนที่ไม่เท่ากัน ทำให้การตรวจหาสารร้ายไม่ต่างกันมากเท่าไรนัก แต่เมื่อติดตัวในอัตราส่วนที่เท่ากัน ก็จะสามารถตรวจหาสารร้ายได้แม่นยำมากขึ้น (ภาพที่ 6)

แม้กระนั้นในบางกรณีก็มีความจำเพาะเกี่ยวกับการตรวจหาสารร้ายที่ต้องมีความรู้ทางคลินิก เช่น “ไม่ใช่แค่ มีรายงานในเอกสารให้ตรวจเมื่อใดก็ตามที่คิดว่ามีภัย恙ทางเดินร้ายที่ต้องดูแล” ที่ไม่ใช่แค่ร้าย พบว่า มีความไม่สงบความอ่อนเพลีย หายใจลำบาก 92 และ 93 ตามลำดับ ในกรณีที่ตรวจพบภัย恙ทางเดินร้ายที่ต้องดูแล (primary tumor) และภัย恙ที่ไม่ใช่ภัย恙ในทางเดินร้ายที่ต้องดูแล (distant metastasis) ได้มากถึงร้อยละ 70 เต็มๆ ที่ต้องดูแลในกรณีที่ต้องดูแลในทางเดินร้าย hepatoduodenal โดยพบเพียงร้อยละ 13 ตามที่ศึกษาแล้วผลลัพธ์จะไม่ดี (false negative) ในกรณีที่ตรวจพบภัย恙ทางเดินร้ายที่ต้องดูแล (false positive) ในกรณีที่ตรวจพบภัย恙ทางเดินร้ายที่ต้องดูแล (true positive)



ภาพที่ 6 รูปภาพแสดง PET Scan with FDG

- Intense uptake of activity in the liver including the region of the porta and medial aspect of the left lobe of the liver
- Multiple abnormal foci of uptake at ribs, vertebra, and lymph nodes

2 Classification ที่นิยมใช้หลักๆ

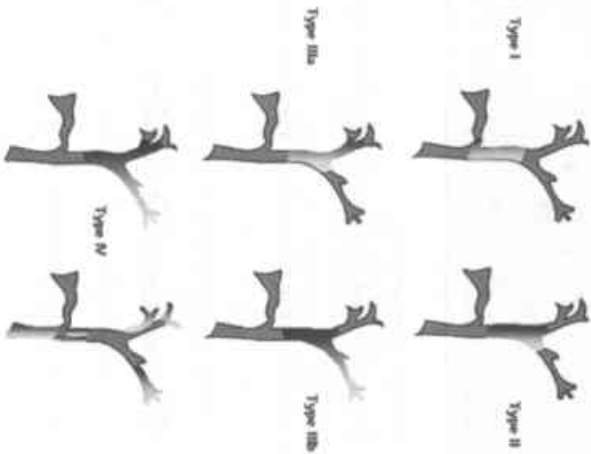
1) Modified Bismuth-Corlette Classification⁶⁻⁸

เป็นรูปแบบของห้องท่อน้ำต่อตัวที่ใช้ย่างเพื่อหลอดและเส้นเลือดตามตำแหน่งทางกากอวิภาคโดยตามข้อบ่งชี้จะเริ่มท่อน้ำต่อตัวเป็นหลัก ซึ่งเป็นประดิษฐ์ในการเลือกการรักษา เช่น ผ่าตัดห้องท้องหรือรากชาติมากร้าว เป็นต้น (ภาพที่ 7 และตารางที่ 1)

ตารางที่ 1

Modified Bismuth-Corlette classification for hilar cholangiocarcinoma	
Type	Anatomic location
Type I	Below the confluence of the right and left hepatic ducts
Type II	Confined to the confluence of the right and left hepatic ducts
Type IIIa	Extension into the right hepatic duct
Type IIIb	Extension into the left hepatic duct
Type IV	Extension into the right and left hepatic ducts

ภาพที่ 7 แสดงภาระการผ่าตัดตาม Bismuth-Corlette



ตารางที่ 2

AJCC staging system for cholangiocarcinoma			
Group staging	Tumor staging	Nodal staging	Metastasis staging
Stage 0	Tis	N0	M0
Stage I	T1	N0	M0
Stage II	T2	N0	M0
Stage III	T1,2	N1,2	M0
Stage IVA	T3	Any	M0
Stage IVB	Any	Any	M1

ตัวอย่างตาราง

Tis : carcinoma in situ

T1 : tumor invades to fibromuscular layer

T2 : tumor invades perifibromuscular tissue

T3 : tumor invades adjacent structure

N1 : metastasis in lymph nodes of hepatoduodenal ligament (ie, cystic duct, pericholedochal, or hilar)

N2 : metastasis in distant region lymph nodes (ie, paraoduodenal, periportal, celiac, superior mesenteric, peripancreatic, or posterior pancreaticoduodenal)

2) pTNM staging⁷⁻⁹

เมืองตาม American joint committee on cancer (AJCC) โดยน้ำหนักผลของการขยายตัวของเนื้อร้าย ตัวชี้วัดมากที่สุด คือขนาดของตัวเนื้อร้ายที่ติดต่อไปยังอวัยวะที่远จากต้นทาง สำหรับในกรณีของกระเพาะปัสสาวะจะมองไม่เห็นตัวเนื้อร้ายได้ยากนิด วิธีการประเมินยังคงประเมินโดยการพยาพากานเนื้อร้ายโดยเดียว (ตารางที่ 2) แต่เมื่อหามีการผ่านเข้าสู่อวัยวะอื่นๆ แล้ว จึงต้องมีการผ่าตัดเพื่อประเมินตัวเนื้อร้ายที่ติดต่อไป กระบวนการนี้สามารถสืบสานต่อไปได้ (T staging)

3) Transplantation with Neoadjuvant chemoradiation therapy¹⁹

1) รีสีการศักยภาพรีบูตเพียงหนึ่งเดือนขั้นตอนโดยการผ่าตัดเปลี่ยนตับรักษาไว้ให้ยาเคมีบำบัดและราเชียลล์สกอร์ของ การรักษาโดยการผ่าตัด切除อัมเนเรชันซอก้า (hepatic resection) โดย Rea DJ และคอล์ม¹⁹ ที่ Mayo Clinic ในฟลอริดา ส.ค. 1993 ถึง ค.ศ. 2004 พยาบาล มีผู้ป่วยจำนวน 71 รายที่ทำการรักษา โดย 38 รายได้รับการผ่าตัดเปลี่ยนตับ รีสี 46 ตัวคงเป็นผู้ป่วยมะเร็งหลังรักษา หรือไม่ได้รักษาไปแล้ว 22 例 ห่างนับ ผลลัพธ์ให้ neoadjuvant therapy ด้วย การฉายแสงจากภายนอก (external beam radiation) ในขนาด 4,500 cGy ในนาทีช่วยแสดงพื้นที่ 30 ศรีวิรุณหันก์ กับการให้ยาเคมีบำบัดด้วย 5-FU ในขนาด 500 มิลิกรัมต่อครั้ง ให้รับประคบริสุทธิ์ ในฟลอริดา 3 วันโดยแพทย์ของทางชราบาล หลังจากนั้น 3 สัปดาห์ รักษาโดย brachytherapy ด้วย ไบเบิล-192 ขนาด 2,000-3,000 cGy ตามตัวอย่างที่ได้รับการผ่าตัด 5-FU ในขนาด เดินทางกลับบ้านแล้ว ให้ยาเคมี capcitabine จนกว่าจะได้รับการผ่าตัดเปลี่ยนตับ ผู้ป่วยกลุ่มนี้รักษาได้ดีกว่าผู้ที่รักษาด้วยการผ่าตัดและรีบูตเพียง 26 ราย

ผลการศึกษา พบว่า ในกลุ่มที่ได้รับการผ่าตัดเปลี่ยนตับ รีสีรากษาอยู่ รอดชีวิต 1, 3 และ 5 ปี เท่ากับรีบูตเพียง 92, 82 และ 82 ตามลำดับ แต่กลุ่มที่ได้รับการผ่าตัด切除อัมเนเรชันซอก้ามีรอดชีวิตมากกว่ารีบูตเพียง 82.48 例 และ 21

ผู้รักษาพบว่า กลุ่มที่ได้รับการผ่าตัดเปลี่ยนตับ รีสีรากษาอยู่ รอดชีวิต 1, 3 และ 5 ปี เท่ากับรีบูตเพียง 92, 82 และ 82 ตามลำดับ แต่กลุ่มที่ได้รับการผ่าตัด切除อัมเนเรชันซอก้ามีรอดชีวิตมากกว่ารีบูตเพียง 82.48 例 และ 21

Palliative treatment

1) Percutaneous Transhepatic Biliary Drainage²⁰⁻²⁴

การรักษา percutaneous transhepatic biliary drainage (PTBD) เป็นวิธีที่ทำอย่างง่ายและรวดเร็ว โดยการใช้ radioactive intervention ในรายที่มีอาการเหลืองจากมะเร็งตับและไม่สามารถผ่าตัดได้

มาร์สิกาโน่ Qian XP และคอล์ม²⁰ ในญี่ปุ่นจำนวน 233 ราย ที่รับการอุดตันหินท่อน้ำดีตามมาตรฐานต่างๆ เป็นระยะเวลาเฉลี่ย 89 ราย ได้รับการรักษาโดยการระบายน้ำด้วย PTBD โดยการใส่ metallic stent และหรือใส่ plastic stent และมีผู้ป่วยจำนวน 49 รายที่มีระยะเวลาเฉลี่ย 4.9 ปี ที่มีภาวะแทรกซ้อนในห้องท้อง ให้การรักษาเฉพาะที่ร่วมกับการรักษาโดยพยาบาล ให้ยาเคมีบำบัด (Transcatheter arterial chemoembolization) พวยวนผลการศึกษามีส่วนอัตราการหายใจดี 1, 3, 6 และ 12 เดือน เท่ากับรีบูตเพียง 98, 96, 90 และ 33 ตามลำดับ ซึ่งจะสังเคราะห์ก่อตัวที่ได้รับการรักษาโดยรักษาระดับห้องท้อง เช่น การรักษาโดยห้องท้องไม่มีกระดูกตัวลงก้นในห้องล่องคุณ ที่ 1, 3, 6 และ 12 เดือน เท่ากับรีบูตเพียง 98, 94, 81 และ 57 ตามลำดับ

พูเปาเรร์กษาด้วย PTBD นั้นได้ปรับเปลี่ยนการรักษาอย่างเดียว แต่รักษาชีวิตในรายที่รักษาด้วยการห้องตุ่มเนื่องจากห้องที่ติดม่านง่ายตั้งแต่แรก แต่จะให้ช่วยให้รักษาชีวิตในรายที่รักษาด้วยการห้องตุ่มง่ายตั้งแต่แรก

2) Endoscopic palliation of hilar biliary obstruction²²

การรักษาที่ดีที่สุดแห่งท่อน้ำดีปริเวณหัวตับมีภาระเกิดจากเนื้องอกที่หัวรีบูตเพียง 13 ก้อน 27 สามัญตั้งแต่ปี 1990 จึงรักษาความสำเร็จในการห้องตุ่มได้ด้วยการห้องตุ่มที่หัวรีบูตเพียง 2 ตัว จึงรักษาความสำเร็จในห้องตุ่มที่หัวรีบูตเพียง 2 ตัว (distal tumor)

ส่วนใหญ่ของผู้ป่วยที่มีการรักษาหัวตับน้ำเหลืองหัวตับได้รักษาด้วยห้องตุ่มที่หัวรีบูตเพียง 1 ตัว (unilateral drainage) ได้ผลพานี้มาก

ศึกษาแบบ prospective โดย Peter RA แสดงผล²⁵ ว่า ในผู้ป่วยที่มีมะเร็งต่อดินเหล้นได้ เมนท์ Bismuth ชนิดที่ II และ III น้ำดูดห่มภาวะสมดุลต่อรักษากับตัวบิสเมลลิกสตีท์ metallic stent พบอัตราการรักษาดีขึ้นของ stent เล็กซ์ช์ที่ 12 เทียบ ผลกระทบทางการเรื้อรังน้อยกว่าผู้ป่วยกลุ่มนี้ และส่วนใหญ่ไม่จำเป็นต้องทำครั้งที่ 2 (ร้อยละ 70)

3) Management of Occluded biliary wallstent²⁶

การรักษาด้วยบิสเมลลิกสตีท์ wallstent เพื่อให้ในการรักษาแบบ palliative “ในผู้ป่วยที่มีการตีบของท่อน้ำดีตามธรรมเนียม” (ตั้งภาพที่ 8) เพื่อยมาในการรักษาแบบ palliative “ในบุคคล แต่ wallstent มีโอกาสตุดตันได้ ดังนั้น จึงมีการศึกษาเพื่อหารือที่เห็นด้วยในหน้าที่ wallstent บุคคลนี้ได้ ดังนั้น โดย Tham TCK และคอลล์²⁶ ศึกษาผู้ป่วย 38 รายพิจารณาตัดสินใจว่า wallstent นานาไป 44 ชั่วโมง กากอนกี้²⁷ กาวบันล้อต้าหากาไฟส์ wallstent เพิ่มอีกอีก 1 นิ้ว หรือถ้าใส่ plastic stent และ กาวท่า mechanical cleaning ตัวบิสเมลลิกสตีท์สามารถ สามารถพิทักษ์ได้สำเร็จ 43 ชั่วโมง (ร้อยละ 98) สามารถลดระยะเวลา biilnbib จาก 6 เป็น 2 มิลลิเมตรต่อเดือนได้ พยายามรักษาตัวบิสเมลลิกสตีท์ wallstent จึงไม่ต้องทำการตัดออกและเปลี่ยนใหม่ เพากัน 75 วัน (ค่าใช้จ่ายความเสี่ยงนั้นที่จะลดลง 95 เพ加บี 43 ถึง 107) หากหากาไฟส์ plastic stent เทากัน 90 วัน (ค่าใช้จ่ายความเสี่ยงนั้นที่จะลดลง 95 เพากัน 71 ถึง 109) และ หากาไฟท่า mechanical cleaning เพากัน 34 วัน (ค่าใช้จ่ายความเสี่ยงนั้นที่จะลดลง 95 เพากัน 30 ถึง 380) การวินิจฉัยที่ดีตามศูนย์ค่าเฉลี่ยพยาบาล กากะ น้ำดูดห่มจะต้องใช้ร่วมกับ wallstent จะเป็นบิสเมลลิกสตีท์ให้ผู้ศึกษาตัวที่สุด



ภาพที่ 8 เส้นทางด้านขวาตัดน้ำดีอย่างมีประสิทธิภาพโดยตั้งพิมมาใน แสดงการใช้ plastic stent ให้เพียงพอในภาวะอุดตันของ wallstent

4) Brachytherapy²⁷

เป็นบริการรักษาที่อาจนำไปสู่ความเสี่ยงที่มากที่สุดในการรักษา ไม่สามารถเก็บตัวติดได้ ใช้ยาเพิ่มอัตราการหักยึดติดเพิ่ม ไม่ว่าจะหลักเดือนถึงปี ขึ้น กับบริการรักษา โดยถ้าได้รับการรักษาแล้วสิ่งพำนัชท่อน้ำดี (internal brachytherapy, ILBT) จะมีอัตราการหักยึดติดสูง (Survival rate) ประมาณ 11 เดือน และถ้าใช้ร่วมกับภายนอก (ILBT + External beam irradiation therapy) พบว่า จะมีอัตราการหักยึดติดเฉลี่ย (Median survival rate) ประมาณ 14.5 เดือน เมื่อเทียบกับภายนอกรักษา จะมีอัตราการหักยึดติดเฉลี่ยเพียง 4-6 เดือน (ตารางที่ 2)

ตารางที่ 2

Study	No. of patients	Pathology	Mode of radiotherapy	Median survival (mo)
Pechter et al 1983 ^[17]	18	Hilar Cholangiocarcinoma	ILBT	11
Kunzshirits et al 1995 ^[18]	12	Hilar Cholangiocarcinoma	ILBT+EBRT	14.5
Ajani et al 1988 ^[19]	20	Cholangiocarcinoma	ILBT	10
Edd et al 1989 ^[20]	14	Cholangiocarcinoma	ILBT	10.5
Keze-Kuijpers et al 1990 ^[21]	31	Cholangiocarcinoma	ILBT+EBRT	8
Magenti et al 2000 ^[22]	20	Cholangiocarcinoma	ILBT+EBRT	13
Bonciolari et al 2000 ^[23]	38	Cholangiocarcinoma	ILBT+EBRT	10.4

ตารางที่ 2 Survival after radiotherapy for extrahepatic cholangiocarcinoma

5) Photodynamic therapy 28-29

References

- เมื่อองศากรสูนในท่อน้ำดีอยู่ในระดับที่ต่ำลงมาในระยะที่ไม่สามารถทำให้การรักษาโดยทางการผ่าตัดได้ (ประมาณหนึ่งปีละ 80) รวมทั้งน้ำทึบห้องท้องมาก ส่วนใหญ่จะเป็นชนิด well-differentiated มักมีมีลักษณะของชากราบรื่น “เดิม” และรักษาได้ยาก รวมทั้งการเกิดการติดเชื้อที่ห้องน้ำต้นท่อทำให้มีการติดเชื้อในกระเพาะสีเหลืองตามมาในวันที่สุดท้ายเป็นปีจัดสำคัญที่ทำให้อัตราการคุ้มครองลดลง เฉลี่ย 4-6 เท่านั้น
- การรักษาด้วย Photodynamic เป็นวิธีการรักษาใหม่ โดยมีหลักการดังนี้
- ใช้สารทึบแสงที่สามารถทำปฏิกิริยากับสารเคมีอย่างแข็งแกร่งที่ชื่อ PDT
 - ใช้แสงทึบแสงที่จะต้องส่องแสงที่เซลล์ร้าย
 - เมื่อสารทึบแสงถูกเซลล์ร้ายดูดซึมเข้าไปแล้วถูกการทำลายโดยสารเคมีที่มีอิทธิพลต่อตัวเอง
- Oxygen ทำให้เกิดการหักเหของแสงที่เซลล์ร้าย แล้วถูกการทำลายโดยตัวเองเมื่อเวลาเดียวกัน
- เมื่อองศากรสูนในท่อน้ำดีอยู่ในระยะที่ต่ำลงมาในระยะที่ต้องการผ่าตัด แต่ไม่สามารถทำให้การรักษาได้ จึงต้องหาทางอื่นๆ เช่น การเจาะห้องท้อง 23 คน มีอัตรารอดต่อ 6 เดือน (6 month survival rate) ถึงร้อยละ 91 หลังการรีวิวนั้นๆ แล้วสูงถึงร้อยละ 74 หลังได้รับการรักษา Photodynamic จำนวน 23 คน มีอัตรารอดต่อ 6 เดือน (6 month survival rate) ถึงร้อยละ 91 หลังการรีวิวนั้นๆ แล้วสูงถึงร้อยละ 74 หลังได้รับการรักษา Photodynamic
- A**
-
- ภาพที่ 9**
- A: ERCP images of an advanced Bismuth type IV adenocarcinoma (histologic grade G2) before photodynamic therapy
- B: Occluded left hepatic duct and right lobe segments numbers 6 and 7 have been reopened with the first PDT (18 months later)

1. Patel AH, Harnois DM, Klee GG, et al. The Utility of CA 19-9 in the Diagnoses of Cholangiocarcinoma in Patients Without Primary Sclerosing Cholangitis. Am J Gastroenterol 2000;95:204-7.

2. Hann LE, Greatrex KV, Bach AV, et al. Cholangiocarcinoma at the Hepatic hilus: Sonographic findings. AJR 1997;168:985-9.

3. Naik T, Shiratori Y, Kanematsu M, et al. Potential Utility of Magnetic Resonance Cholangiography in the Management of Endoscopic Biliary Drainage Tubes. Am J Gastroenterol 1999;94:2531-3.

4. Zidi SH, Prat F, Guen OL, et al. Performance characteristics of magnetic resonance cholangiography in the staging of malignant hilar strictures. Gut 2000;46:103-6.

5. Yeh TS, Jan YY, Tseng JH, et al. Malignant perihilar biliary obstruction: Magnetic Resonance Cholangiopancreatographic Findings. Am J Gastroenterol 2000;95:432-40.

6. Chin BB, Wahl RL. 18F-fluoro-2-deoxyglucose positron emission tomography in the evaluation of gastrointestinal malignancies. Gut 2003; 52:23-9.

7. Gores GJ. Cholangiocarcinoma: Current concepts and insights. Hepatology 2003;37:961-9.

8. Gores GJ. Early Detection and Treatment of Cholangiocarcinoma. Liver Transpl 2000;6:S30-S34.

9. Figueras J, Llado L, Valls C, et al. Changing Strategies in Diagnosis and Management of Hilar Cholangiocarcinoma. Liver Transpl 2000;6:786-94.

10. Lang H, Sotiropoulos GC, Fruhauf NR, et al. Extended Hepatectomy for Intrahepatic Cholangiocellular Carcinoma. Ann Surg 2005;241:134-43.

11. Hemming AW, Reed AI, Fujita S, et al. Surgical management of Hilar cholangiocarcinoma. Ann Surg 2005;241:693-702.

12. Kondo S, Hirano S, Ambo Y, et al. Forty Consecutive Resections of Hilar

Cholangiocarcinoma With No Postoperative Mortality and No Positive Ductal Margins. Ann Surg 2004;240:95-101.

13. Lang H, Sotiropoulos GC, Fruhauf NR, et al. Extended Hepatectomy for Intrahepatic Cholangiocellular Carcinoma (ICC) When Is It Worthwhile? Single Center Experience With 27 Resections in 50 Patients Over a 5-Year Period. Ann Surg 2005;241:134-43.

14. Bold RJ, Goodnight JE. Hilar cholangiocarcinoma: surgical and endoscopic approaches. Surg Clin N Am 2004;84:525-42.

15. Tsao JI, Nimura Y, Kamiya J, et al. Management of Hilar Cholangiocarcinoma: comparison of an American and a Japanese experience. Ann Surg 2000;232:166-74.

16. Robles R, Figueras J, Turrian VS, et al. Spanish Experience in Liver Transplantation for Hilar and Peripheral Cholangiocarcinoma. Ann Surg 2004;239:265-71.

17. Ghali P, Marotta PJ, Yoshida EM, et al. Liver Transplantation for Incidental Cholangiocarcinoma: Analysis of the Canadian Experience. Liver Transplant 2005;11:1412-6.

18. Shimoda M, Farmer DG, Colquhoun SD, et al. Liver Transplantation for Cholangiocellular Carcinoma: Analysis of a Single-Center Experience and Review of the Literature. Liver Transpl 2001;7:1023-3.

19. Rea DJ, Heimbach JK, Rosen CB, et al. Liver transplantation with neoadjuvant chemoradiation is more effective than resection for Hilar cholangiocarcinoma. Ann Surg 2005;242:451-61.

20. Qian XJ, Zhai RY, Dai DK, et al. Treatment of malignant biliary obstruction by combined percutaneous transhepatic biliary drainage with local tumor. World J Gastroenterol 2006;12:331-5.

21. House MG, Choi IMA. Palliative Therapy for Pancreatic/Biliary Cancer. Surg Clin N Am 2005;85:359-71.

22. Baron TH. Palliation of Malignant Obstructive Jaundice. Gastroenterol Clin N Am 2006;35:101-12.

23. Prat F, Chaput O, Ducot B, et al. Predictive factors for survival of patients with inoperable malignant distal biliary strictures: a practical management guideline. Gut 1998;42:76-80.

24. Inai M, Akgul E, Aksungur E, et al. Percutaneous Placement of Biliary Metallic Stents in Patients with Malignant Hilar Obstruction: Unilobar versus Bilobar Drainage. J Vasc Interv Radiol 2003;14:1409-16.

25. Peters RA, Williams SG, Lombard M, et al. The management of high-grade hilar strictures by endoscopic insertion of self-expanding metal endoprostheses. Endoscopy 1997;29:10-6.

26. Tham TCK, Carr-Locke DL, Vandervoort J, et al. Management of occluded biliary wallstents. Gut 1998;42:703-7.

27. Chan SY, Poon RT, Ng KK, et al. Long-term survival after intraluminal brachytherapy for inoperable hilar cholangiocarcinoma: A case report. World J Gastroenterol 2005;11:13161-4.

28. Berr F, Wiedmann M, Tannapfel A, et al. Photodynamic Therapy for Advanced Bile Duct Cancer: Evidence for Improved Palliation and Extended Survival. Hepatology 2000;31:291-8.

29. Webber J, Herman M, Kassel D, et al. Current Concepts in Gastrointestinal Photodynamic Therapy. Ann Surg 1999;230:12-3.

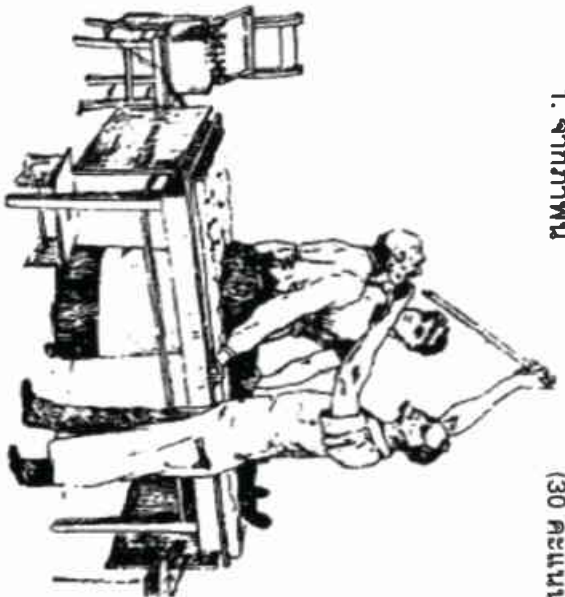


ค่าตอบ

ครั้งที่ 3/2550

1. จากภานี้

(30 คะแนน)



ผู้ต้องคุก ผู้มาเข้ามายังผู้คนในทุกพื้นที่ คิดว่าตนขอเป็นครั้งที่ 3 มี 3 ชื่อ “เมฆาภิลักษณ์” อย่างสิ้นเชิงในความคิดของในใจตนเป็นที่ดีให้ไม่เล่ม เนื่องในกรณีด้วยการเปล่าก้าวเดียว แล้วสูบลมหายใจ “พญ.พนิชา ห้องอุทัยศรี” หน่วยรักษาด้วยยา ภาควิชาชีววิทยาระดับตรี โรงพยาบาลรามคำแหง ได้รับการแต่งตั้งเป็น “อดีตครูแพทย์ กฤษณะพงษ์ 10400” เมล็ดงามเพิ่บผู้คนที่ต้องดูแล พรัชญา 6 เนื้อศักดิ์ดูแล “อดีตครูแพทย์ 3/2550” ภายในเว็บที่ 30 วิจิราห์ รามคำแหง วันที่ 2 ขณะเดียวกันค่าตัดมุมตรังน้ำ ค่าเชื้อยุงครั้งที่ 2 ขณะเดียวกันค่าตัดมุมตรังน้ำ

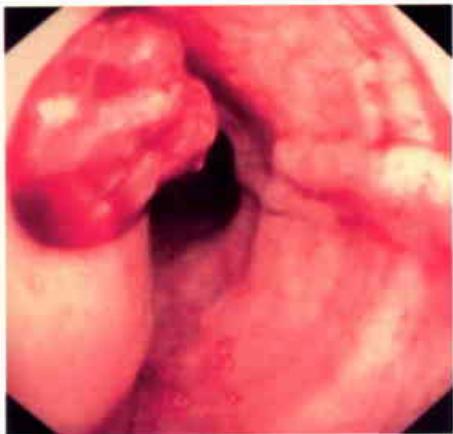
- 1.1 กำหนดเวลาที่นิ่งทางเดินหายใจและเวลาที่นิ่งทางเดินหายใจ (20 คะแนน)
1.2 ผู้ต้องคุกต้องการดูแลอย่างไร (10 คะแนน)

2. ผู้ป่วยหญิงอายุ 76 ปี เป็นโรคความดันโลหิตสูง COPD, hypothyroidism และ osteoporosis มาด้วยอาการอาเจียนเป็นลิ่ดดอ อ่อนเพี้ยน เวียนศีรษะ หน้ามืด 1 วัน หลังจาก resuscitation “ได้ทำ EGD พบรูปร่องปากที่มีหัวใจขนาดใหญ่ circumscribed, sharply marginated mucosal defect with pulsatile extrinsic compression at the 26 cm mark from incisor ดังภาพ (40 คะแนน)

คําตอบ “QUIZ”

ครั้งที่ 3/2550

กุญแจเฉือนตัวบดูดูด



1. [] นายแพทย์ [] แพทย์หญิงชื่อ... (20 คะแนน)

2. คุณลูก

[] GI Fellow [] ชำนาญแพทย์สาขา gastroenterology ประจำหน่วย gastroenterology

[] แพทย์หัวหน้าห้องแพทย์เชิงรุกสาขาวิชาน่ารักๆ

3. ที่อยู่ปัจจุบัน (พื้นที่มาอาศัยต่อเนื่องสักๆ อาทิตย์) บ้านเลขที่... ถนน... แขวง/เขต...

บ้านเลขที่/เลข... แขวง/เขต... ตำบล... ตำบล/แขวง...

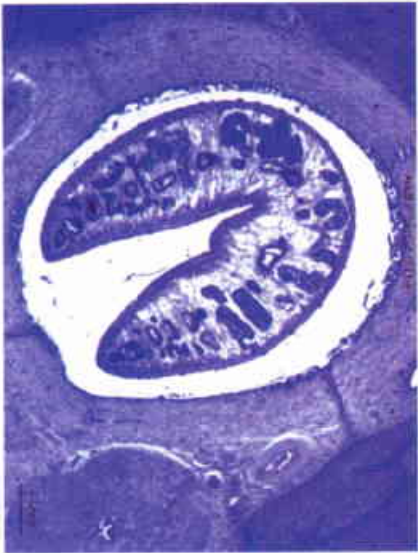
4. ที่ทำงาน... โรงพยาบาล...

.....โรงพยาบาล..... โรงพยาบาล.....

1. จากภาพ

(30 คะแนน)

3. ผู้ป่วยชาย 47 ปี มาด้วยอาการไข้ปวดห้อง 2 เดือน ตรวจ U/S พบ multiple space-occupying lesions ทำ open liver biopsy จาก histopathology ที่พบ (30 คะแนน)



ไข้ให้การวินิจฉัย

3. ผู้ป่วยหญิงอายุ 40 ปี มาด้วยอาการท้องอืด ท้องผูก แน่นท้องเป็นๆ หายๆ 2 ปี ตรวจส่องกล้องลำไส้ใหญ่ด้วยกล้อง (20 คะแนน)

3.1 ไข้ได้รับวินิจฉัย (10 คะแนน)

คำศัพด์ Melanosis coli

3.2 ไข้เอกซานธุ์ของภารกิจพยาธิส่วนหน้า (10 คะแนน)

คำศัพด์ Abuse of anthraquinone type laxatives

4. ผู้ป่วย symptomatic HIV มีไข้เรื้อรัง 3 เดือน ตรวจรังนิเนื้อตับพบความผิดปกติ ตึ้งติ่งภาพ (30 คะแนน)

4.1 ไข้ปริครอยด์เรื้อรัง (10 คะแนน)

คำศัพด์ macrophages containing small yeasts in liver (20 คะแนน)

(ref. www.md.huji.ac.il/mirror/webpath/ADS.html)

คำถ้ามที่ 1 อย่างจัดๆ ตามแนวทางการปฏิรูปยา pegylated IFN และ ribavirin ระหว่างการรักษาผู้ป่วย (การศึกษาเบื้องต้น) แม้กระทั่ง effects

คำศัพด์

คุณภาพ-เรตติ้ง

สิ่งสำคัญ สมาร์ทแอนด์เพื่อชีวิตทุกท่าน คำถ้ามที่ถูกสัญหรือสอนใจ ตลอดจนแปลไปสู่ความคิดเห็น ได้ยกับโรคระบาดทางเดินอาหาร โดยสังค์ัดาม มากกว่าไปชนิดนี้เป็นเวลาร้อยๆ จนมาถ่ายมาที่ คลินิกเมือง “คุณธรรม-เรตติ้ง” หน่วยโภคภัณฑ์เดินทางฯ ภาควิชาชีววิทยาศาสตร์ โรงพยาบาลรามาธิบดี ถนนพระราม 6 กษม. 10400 ห้องที่ 104 ชั้น 10 ยังคงเป็นที่จัดตั้งโดย “คุณธรรม-เรตติ้ง” ผู้เชี่ยวชาญเพื่อให้คำศัพด์แบบแบ่งๆ กัน

ใน Asian Pacific Association for the Study of the Liver (APASL) Hepatitis C Working Party 2007 แนะนำตรวจน้ำเลือด complete blood count (CBC) ที่ 2, 4 และ 6 สปีดเอนซี ระหว่างการรักษาผู้ป่วย “ไวรัสตับอัมพาต” ผู้ป่วยไม่มีกลุ่มให้ทราบ CBC ต่อทุก 4 สปีดเอนซี สำหรับแนวทางการปฏิรูปยา pegylated IFN และ ribavirin ตั้งแต่ครั้งที่ 1 แล้ว 2



ตารางที่ 1 General Guidelines for Peginterferon Dose Reduction or Discontinuation

LABORATORY	VALUES MANUFACTURER PACKAGE INSERT	RECOMMENDATIONS
WBC		
$<1.5 \times 10^9/L$	Reduce peginterferon alfa-2b dose by 50% and reevaluate	
$<1.0 \times 10^9/L$	Discontinue peginterferon alfa-2b until resolution	
ANC *		
$<0.75 \times 10^9/L$	Peginterferon alfa-2a: reduce dose to 135 mcg /wk and reevaluate Peginterferon alfa-2b: reduce dose by 50% and reevaluate	
Platelets †		
$<80 \text{ k/mm}^3$	Peginterferon alfa-2b: reduce dose by 50% and reevaluate	
$<50 \text{ k/mm}^3$	Peginterferon alfa-2a: reduce dose to 90 mcg/wk and reevaluate	
$<25 \text{ k/mm}^3$	Peginterferon alfa-2b: discontinue until resolution Peginterferon alfa-2a: discontinue until resolution	

ANC = absolute neutrophil count; WBC = white blood cell counts

ตารางที่ 2 General Guidelines for Ribavirin Dose Reduction or Discontinuation

PARAMETER	RECOMMENDATION
Hemoglobin (Hb)	
$<11.0 \text{ but } >10 \text{ g/dL}$	No change in ribavirin dose if patient has minimal symptoms
$<10.0 \text{ but } >8.5 \text{ g/dL}$	In a symptomatic patient, consider ribavirin dose reduction by 200 mg/day and/or starting an erythropoietic growth factor
$<8.5 \text{ g/dL}$	Decrease ribavirin by 200 mg/day and/or consider starting an erythropoietic growth factor. Recheck Hb levels at least every 2 wk or more frequently if indicated

In stable underlying cardiac disease, reduce ribavirin by 200 mg/day for $\leq 2 \text{ g/dL}$ drop in Hb over a four-wk period. If the Hb level is $<12 \text{ g/dL}$ after four wk of dose reduction, discontinue ribavirin until resolution and reevaluation.

*** พนิชฯ หอดูทั้งคู่

ห้องปฏิบัติการเดินทางและถ่ายทอดเชิงพยาบาลตามกำหนด

1. Asian Pacific Association for the Study of the Liver (APASL) Hepatitis C Working Party, McCaughey GW, Omata M, Amarapurkar D,

Bowden S, et al. Asian Pacific Association for the Study of the Liver consensus statements on the diagnosis, management and treatment of hepatitis C virus infection. J Gastroenterol Hepatol

2007;22(5):615-33.

2. Department of Veterans Affairs Hepatitis C Resource Center, Yee HS, Currie SL, Darling JM, Wright TL. Management and treatment of hepatitis C viral infection: recommendations from the Department of Veterans Affairs Hepatitis C Resource Center program and the National Hepatitis C Program office. Am J Gastroenterol

2006;101(10):2360-78.

An Event...

พญ. พันดา หอยดุ๊งวงศ์...เรียนมรรค

เพ็บดินไหว... “วสุราภบปาก” ก้าวการลับไปได้ (ตอนที่ 1)



แผ่นดินไหวที่ตั่งข่าน (Tangshan) ประมาณ พ.ศ. 2519 ทำให้มีคนเสียชีวิตกว่า 250,000 คน และบาดเจ็บรุนแรง 800,000 คน ความเสียหายครั้นนั้นใหญ่เกินต้านทานได้ สำหรับตั่งข่าน 10 ปี จึงสร้างตึ้งข่าน “หิ้งซุกซิ้ง” มาไว้ต้านภัยน้ำ.... 19 กันยายน พ.ศ. 2528 ที่

ประเทศโนเกซิโก ห่างจากเมืองโคเบะ 400 กิโลเมตร แผ่นดินไหวมีคนตาย 7,500 คน และระดับเสียหาย 20,000 ล้านบาท ... เหตุชั่วชั้น 17 มกราคม พ.ศ.

2538 แผ่นดินไหวที่เมืองโคเบะ (Kobe) ในประเทศญี่ปุ่น ทำลายบ้านเรือน 200,000 หลัง มีคนเสียชีวิต 6,000 คน และบาดเจ็บ 34,000 คน.... 26 ธันวาคม พ.ศ. 2547 ประมาณ 8.00 น. แผ่นดินไหวระดับ 9.0 ริกเตอร์ทางตะวันตก ของจังหวัดชูขอซุคเอนเน็ค และคลื่นสะท้อนสั่งความเสียหายให้กับบ้านเรือนทั่วไปหลายหลัง ทำลายเครื่อง皿และทรัพย์สินไปกว่า 2 แสนคน นับเป็นภัยพิบัติที่ใหญ่ที่สุดแห่งหนึ่ง และเป็นแผ่นดินไหวที่ใหญ่สุดในรอบ 40 ปี.... 16

พฤษภาคม พ.ศ. 2550 แผ่นดินไหว “จาง” แรงสั่นสะเทือน 6.1 ริกเตอร์ “พะซากาดูจอมกิจดิ” จ.เชียงราย อายุเก่าแก่กว่า 500 ปี ได้พังลงมา..... “แม้ว่าความก้าวหน้าทางเทคโนโลยีจะรองรับอย่างดี..... ใกล้เคียง แต่ไม่ใช่ครบร้อย per cent ในโลกที่สามารถขยายกรอบ

ผ่อนดันให้ล่วงหน้าได้.....

..., ຕ່າງປະອຂອພເບີນໄຫວ...

ໃນສະນຍາປີປາກນີ້ຕໍ່ມານາຂາກຊາບໄປຮະຫບດໃນລັກ ທີ່ອີນາຍດີປຳປາກງາງ ກາງຄົມແຜ່ດິນເທິກ ກົງຄົມອົງຮົງກົງກົກເຕີກເຫຼືອໄດ້ພາຍເນີນໃຫ້ເຖິດຊາກາຮັກທີ່ທີ່ພົດເຈົ້າ "ພົດຊົມ" ແທ້ຫ້ອງທະເລືດສັກຫວັງໃຫຍ້ ແຕ່ ເຮັດສ ຜູ້ປິນປາກບົງກົກໃນສະນຍ ທັກສະກາລີໄສ້ກໍາລົງໃຫ້ມາດົມໃຫຍ້ຢ່າງດຸ້ຮ່າງສົດຂອງກາຍໃນ ເຫັດຕ່າງໆເຫັນມີຄວາມເຊີ່ຫຼື່ທີ່ວ່າ ອະເກົດຕາມທີ່ເທິດຈະຕ້ອນເສີ່ຫຼື່ເຫັນທີ່ຈະຖືກສ່ວນໃຫ້ຕົກລົງໃຫຍ້ ສົດຕະຫຼາຍໃນ ເຫັດຕ່າງໆໄຫ້ມາດົມໃຫຍ້ຢ່າງດຸ້ຮ່າງສົດຂອງກາຍໃນ ຫາກທີ່ເຫັນຕໍ່ມານີ້ຫຼືກໍາໄດ້ຕ່າງໆກ່ຽວກັບມີຄວາມແຜ່ນຕິນໃຫ້ກ່າວ ຂະນະທີ່ທຳມີຕົວໃຫ້ນິ້ນການແມີຄວາມຕ່າງໆແມ່ນມີຕົນໃຫ້ເກີດຕົ້ນມີຄວາມກົງກົກເຫຼືອໄດ້ພົດເຈົ້າ "ເກີດຕົ້ນຢັ້ງປະເລີດເກີດຕົ້ນໃຫ້ລົດ້າຫຼາດກ່າວ ພ້ອມກັບສົ່ງເສີ່ຫຼື່ກ່ຽວກັບມີຄວາມໂນຍາຍປະວັນປາກພາກໃຈຕ່າງໆ ນີ້ມີປະກາດໃຫຍ້ແກ່ ມີນັ້ງມີຕົນເສີ່ຫຼື່ເກີດຕົ້ນແມ່ນຕິນັ້ນຍູ້" ເມື່ອມັນສະບັບເຫຼື້ອ ກົດທະກາໄດ້ຕົດແມ່ນຕິນໃຫ້ນີ້ຂອງ ຮ້າກ ມອນໃດເພີ້ມເຮື່ອງກໍາມີກົມເບົກຜົນຂອນຫຼັບຫຼຸ່ມໃລ້ ສຳຫັບໄປແຮງເກົ່າເຫັນມີປາກ ຈາກນີ້ ທີ່ຮັບໃຫ້ຢູ່ຢູ່ຢູ່ໃຫ້ວ່າມີປາກຫຼັກຂອງກົມຈົນວາມຸດ ທີ່ຖຸກຫັກເຈົ້າສັ່ວິໄຫວ້ ຜໍາຫັກທີ່ທຸນມີສິນແຜ່ນຕິນໄດ້ ສຳຫັກນີ້ເຫັນວ່າ ແລະຂ້ອງປັບຕົວມີວິໄກ ກົດທະກິດແມ່ນຕິນໃຫ້

"ໄວ"

ແຜ່ນຕິນໃຫ້ເກີດຕົ້ນມີຄວາມງາງກາຈນີ້ກາຮສິນສະເໝີໃຫ້ໂຫຼາກເຫຼືອຢ່າງຍັງພື້ນພົວໃຈດາ

ສາຫະກຸດສ່ວນໃຫ້ໄດ້ຈາກຮັກມາຮູ້ຕົ້ນ ບ້າງສັກຜະປະສາມາດຮັດເກີດຊາກາຮ ກະຕ່າງໆຮັກມໍນາງເປົ້າໄດ້ ເຖິງ ກາງຫາດລົດອະນະນຸ່ມຕະໜົກກົດຕ່າງໆ ກາງປົກປັນສົມຕຸລືຈາກນຳ ທັກສະກຳອົນນີ້ເຖິງກົດເກີດຕົ້ນ ແລະຮະຮຽນຮັບເບີດຊາກາຮການເໝື່ອກຳເນົານີ້ເທື່ອເຖິງໃຫ້ ທີ່ຈະກໍລັງຕ່າງຕ່ອງໄປເນື້ອເປົ້າໄຟງາງຄອງແຜ່ນຕິນໃຫ້ກໍາໄດ້ຕາມຮັກມາຮູ້ຕົ້ນ ກອນທີ່ ຈະເຖິງໃຫ້ໄວ້ແຜ່ນຕິນໃຫ້ເກີດຕົ້ນໄດ້ຢ່າງໃຫ້ມີຕົກລົງຂອງຫຼາກອົບ

.... ກ່າວວັບຮັກກົນໂລກລົມາ ໃປ້

ໂລກນີ້ອາຍຸມະນາຍາ 4.5 ພັ້ນລ້ານນີ້ ມີໂຄຮສຮ້າງກ່າວລົມມີປິນຢັ້ນ ດ້ວຍທີ່ຫຼັກທີ່ຫຼັກທີ່

ຕໍ່ສ້າຍເຫັນອນ ເກພທ໌ 1 ຊັ້ນມາສຸດຕື່ອ "ມືລືອາໂລກ" (Crust) ສັ່ນອົມາຕື່ອ "ເນົ້ອໂລກ" (Mantle) "ມັກນິພາ/ຫຼັ້ນຍົກ" (Outer Core) ແລະ "ມັກນິພາຂຶ້ນໄປ" (Inner core) ສະນາລົດຕີ

ກາພທ໌ 1 ຕໍ່ຈົງສ້າງຂອງໂລກ

ໝົນປະສິກໂລກຕິດເປັນ 0.6% ຂອງຮັກນີ້ໃລ້ກາຫ້ານີ້ໂອງ ມີຄວາມໜ້າໄວ້ ສຳນັ້ນອີກສັນຕິ ສ່ວນທີ່ເປັນທີ່ປະໜາປະມານ 70 ກິໂລມິົມ ປະເຈົດມີລົງພະນຸກ ມາຫາສຸກກົດຕະໜາກໂປຣມານ 10 ກິໂລມິົມ ປະເຈົດມີລົງພະນຸກ ແລ້ວ (Biotite) ເບີກ່າວ "ແຜ່ນເຫັດໃຫຍ້" (Tectonic Plate) ທັ້ງລົດມີກິ່ງໜົດ 12 ພັ້ນ (ກາພທ໌ 2)



ກາພທ໌ 2 ແຜ່ນເຫັດທົກທີ່ (Tectonic Plate) ທັ້ງເລືດ



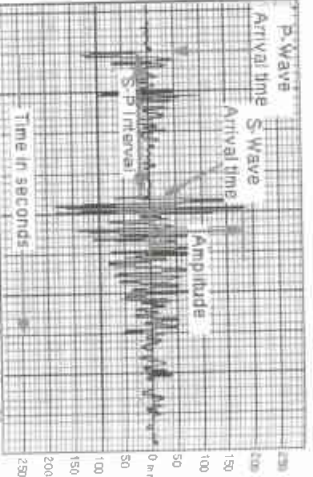
ແຜ່ນທີ່ໃຫ້ຢູ່ສຸດຕື່ອ "ຢູ່ເນົ້ອເຕີຍ" (Eurasian) ສົ່ງໄຫຍ້ກົງກົກໃນເມືອງນີ້ ແລະ ໄກສົກມະນຸນ "ອຸອະເຕະເຕີຍນ" (Australian) ແມ່ນ "ປີລືກ/ປິນສ" (Philippine) ສົ່ວນ

ແຜ່ນຢັ້ນໃນໄຈຈາກຮະແລມປົກກົດໄປທາງຕະວັນເຊົາ ສົດ "ແປົກພິກ" (Pacific)

樟脑油防震及防火的應用 (Chlorophyll Oil Application)

◀ **ภาพที่ 4** จุดศูนย์กลาง (Epicenter) และ จุดหนึ่งในพื้นที่เกิดแผ่นดินไหวที่ร้าวแตก (Epicenter)

พื้นที่เกิดแผ่นดินไหวหรือจุดศูนย์กลาง (Epicenter) คือ “จุดที่หัวใจของแผ่นดินไหว” ตามนิยามทั่วไป ที่สั่นสะเทือนแรงที่สุดที่สื่อสารได้ทางวิธีการ แต่จริงๆ จุดศูนย์กลางก็ไม่ใช่จุดเดียวเดียว แต่เป็นพื้นที่ขนาดใหญ่ที่ต้องขยายกว้างๆ ประมาณ 10 กิโลเมตร แม้กระทั่งในพื้นที่ที่ เหลือซากเหลือกระดูกซากสัมภาระทำความเสียหายต่อชีวิตและทรัพย์สินได้มากกัน



.... Aftershock คืออะไร...

หลังจากแผ่นดินไหวสิ้นสุดลงแล้ว จึงเกิดแผ่นดินไหวที่ร้าวแตก หรือ “ร่องรอยของแผ่นดินไหว” ตามนิยามทั่วไป คือ “ร่องรอย” ตามศัพท์ภาษาต่างประเทศ ที่อยู่ร่องรอย “ร่องรอยของแผ่นดินไหว” ที่สั่นสะเทือนแรงที่สุดที่สื่อสารได้ทางวิธีการ แต่จริงๆ จุดศูนย์กลางก็ไม่ใช่จุดเดียวเดียว แต่เป็นพื้นที่ขนาดใหญ่ที่ต้องขยายกว้างๆ ประมาณ 10 กิโลเมตร แม้กระทั่งในพื้นที่ที่ทั้งสองอย่างนี้ก็จะมีความสำคัญไม่แพ้กัน

ขนาดของแผ่นดินไหว (Magnitude) เป็นประมาณที่มีความสัมพันธ์กับพลังงานที่หันมา ปลดปล่อยออกามain ที่สูง คำนวณ “ตัวบวก” ของความสูงของคลื่นแผ่นดินไหวที่ตัวร่วงตัวยังเครื่องมือตราชญ์แผ่นดินไหว โดยใช้ค่าปริมาณที่เรียกว่า “ความสูงของคลื่นแผ่นดินไหว” (Seismograph) มาตัวบวกกันให้ “ร่องรอย” ได้ทางเครื่องวัดดังนี้ ผลลัพธ์จะแสดงเป็นรูปกราฟที่เรียกว่า “กราฟ Richter” (Richter) มาตราชญ์ มากที่สุดที่ได้หันมานำมาเรียบร้อย เช่น “ร่องรอย” Richter 2477 โดย Charles F. Richter และ

สถาบันเทคโนโลยีแคลิฟอร์เนีย สำหรับเชิงวิเคราะห์ “ร่องรอย” (Richter) จะเป็น 1-10 ด้วยรายละเอียดด้านล่างนี้

Description	Richter Magnitude	Earthquake Effects	Frequency of Occurrence
Micro	< 2.0	Microearthquakes, not felt.	About 8,000 per day
Very minor	2.0-2.9	Generally not felt, but recorded.	About 1,000 per day
Minor	3.0-3.9	Often felt, but rarely causes damage.	49,000 per year (est.)
Light	4.0-4.9	Noticeable shaking of indoor items, rattling noises. Significant damage unlikely.	6,200 per year (est.)
Moderate	5.0-5.9	Can cause major damage to poorly constructed buildings over small regions. At most slight damage to well-designed buildings.	800 per year

2. คลื่นพื้นผิว เป็นคลื่นที่แผ่出去จากจุดแผ่นดินไหวที่อยู่ห่างไกล (ภาพที่ 6)

2.1 คลื่น L (Wave of Love : Love wave) เป็นคลื่นที่อยู่ห่างไกล (ภาพที่ 6)

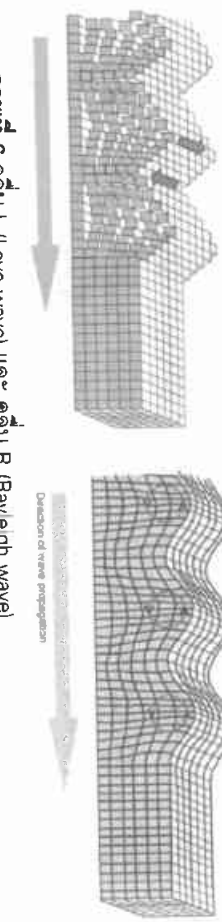
2.2 คลื่น R (Wave of Rayleigh : Rayleigh wave) อยู่ใกล้ “จุดศูนย์กลาง” มากที่สุด (ภาพที่ 6)

เป็นรูปแบบ “ในพื้นที่ห่างไกล” ที่หันไปทางทิศใต้ ทำให้พบได้ในลักษณะรุนแรง

Surface waves

Rayleigh wave

Love wave



ภาพที่ 6 คลื่น L (Love wave) และ คลื่น R (Rayleigh wave)

Description	Richter Magnitudes	Earthquake Effects	Frequency of Occurrence
Strong	6.0-6.9	Can be destructive in areas up to about 100 miles across in populated areas.	120 per year
Major	7.0-7.9	Can cause serious damage over larger areas, e.g. several hundred miles across.	18 per year
Great	8.0-8.9	Can cause serious damage in areas several hundred miles across.	1 per year
Massive	9.0-9.9	Devastating in areas several thousand miles across.	1 per 20 years
Meteoric	10.0+	Never recorded; see below for equivalent seismic energy yield.	Extremely rare (Unknown)

(Adapted from U.S. Geological Survey documents)

ຕັ້ງຈະໄປເຮືອນເຫັນກົບມຽດຈະບັດຕາຂອງແນວດີໃຫ້ວ່ານີ້ຕາມອານຸການມາແກ່ໄປແລ້ວ

ຈະເປັນເບີຍເຫັນກົບມຽດຈະບັດຕາຂອງແນວດີໃຫ້ວ່ານີ້ຕາມອານຸການມາແກ່ໄປແລ້ວ

Richter Approximate Magnitude	Approximate TNT for Seismic Energy	Example
0.5	5.6 kg (12.4 lb)	Hand grenade
1.0	32 kg (70 lb)	Construction site blast
1.5	178 kg (392 lb)	WWII conventional bombs
2.0	1 metric ton	Late WWII conventional bombs
2.5	5.6 metric tons	WWII blockbuster bomb
3.0	32 metric tons	Massive Ordnance Air Blast bomb
3.5	178 metric tons	Chernobyl nuclear disaster, 1986
4.0	1 kiloton	Small atomic bomb
5.0	32 kiloton	Nagasaki atomic bomb
5.5	178 kiloton	Little Skull Mtn., NV Quake, 1992
6.0	1 megaton	Double Spring Flat, NV Quake, 1994
6.5	5.6 megatons	Northridge quake, 1994
7.0	50 megatons	Tsar Bomba, largest thermonuclear weapon ever tested (magnitude seen on seismographs reduced because detonated 4 km in the atmosphere.)

http://en.wikipedia.org/w/index.php?title=Richter_scale

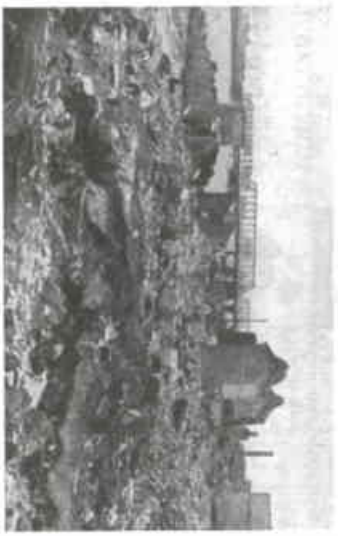
ຄວາມຮຽບແຮງພັບດີກົວ (Intensity)

Richter Approximate Magnitude	Approximate TNT for Seismic Energy Yield	Example
VI	178 megatons	Landers, CA Quake, 1992
VII	1 gigaton	San Francisco, CA Quake, 1906
VIII	5.6 gigatons	Anchorage, AK Quake, 1964
IX	32 gigatons	2004 Indian Ocean earthquake estimate for a 20 km rocky meteorite impacting at 25 km/s
X	1 teraton	
XI		
XII		

ตราจักรได้ด้วยเครื่องมืออัดแผ่นดินไหวเท่านั้น จนถึงปัจจุบันเราที่สุดจนทุกสิ่งทุกอย่างพังพินาศ และให้น้ำทะเลเป็นตัวเลขไม่มี

....อัปตรายจากเพบดีพีให้...

เมืองเกิดแผ่นดินไหว เมืองเปลือกโลกเครื่องดื่มน้ำ กรมแผนภูมิกาดั๊กชื่นชม แม่นยำมาก เกิดแผ่นดินแผ่นใหญ่ บ้านเรือน อาคาร ลิ้งกอกสร้างต่างๆ เสียหาย "ไฟฟ้า" ขาดรากฐานไปครึ่งส่วนๆ เสียหาย ล้านมีผลต่อเศรษฐกิจและเศรษฐกิจใน หลากหลาย ที่น้ำทรายซึ่งอาจหนักหน่วงตามมา เมื่อเกิดแผ่นดินไหวครั้งเดียว ขั้นตรายจากน้ำ น้ำเน่าเสีย น้ำเสียที่มีการหักห้ามทางน้ำและแม่น้ำ การลักลอบนำน้ำไปในมหาสมุทรครั้งเดียว ในสิักหักจะมากกว่า ไปมา เกิดเป็นคลื่นภัยไปด้วยความเร็วสูง หากคลื่นสูงใหญ่ในมหาสมุทรลึก จะไม่เหมือนอย่างไร ปรากฏเห็นผ่านตา เพราะบ่อมีภัยก่อตัวอยู่ในน้ำที่เคลื่อนที่ คลื่นจะเข้ามามีตัวที่กว้างในแม่น้ำ ไม่สามารถรักษาไว้ คลื่นไปด้วย แม่กระชับคลื่น จึงมาถึงชายฝั่งริมแม่น้ำ ก็จะยกตัวขึ้นเหนือผิวน้ำ กลไกเห็นคลื่นลมหมุน เรียกว่า คลื่นลมยกสูงสานกัน วิ่งเข้าหาแผ่นดินถ่ายความเร็วสูง และทำลายสิ่งก่อสร้างด้วยพลังมหาศาล คลื่นนี้มีพลังมากพอที่ว่า น้ำมีมหาสมุทรไปเป็นระยะทางหลาหลายกิโลเมตร เดินด้วยความเร็วสูง กับเครื่องบินขึ้นไป พาดครุ่น มีผู้เสียชีวิตถูกคลื่นยกสูงมากกว่า 80% ของคราบคลื่นที่เกิดขึ้น



Tasho Era, 12th year, Sept. 1, 1923 Great Kanto Earthquake.
Rail station near bridge in Tokyo.

Banda Aceh Indonesia, June 2004

Indian Ocean earthquake & tsunamis at Banda Aceh, Indonesia

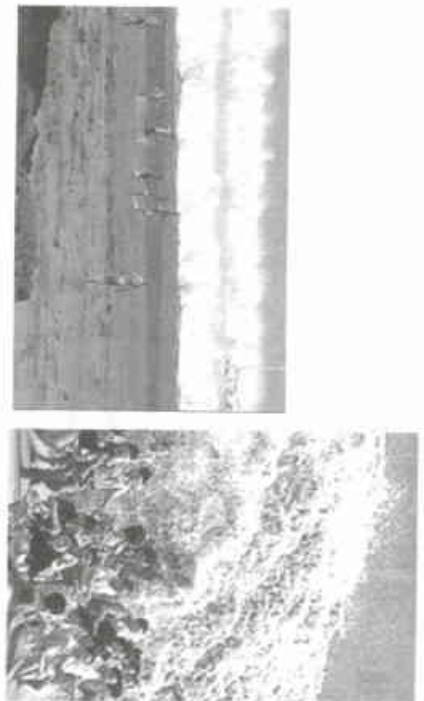
December 26, 2004



Banda Aceh Indonesia, Dec. 26, 2004



The first wave before it hits



Killer wave tsunami

December 26, 2004

Indian Ocean earthquake & tsunami at Phuket, Thailand

สถิติของแผ่นดินไหวที่ผ่านมา ที่มีผู้เสียชีวิตเป็นจำนวนมากกว่า 50,000 คน

Death Toll	Event	Location	Year
830,000	Shaanxi earthquake & tsunami	China	1556
283,000	Indian Ocean earthquake near Indonesia	Indian Ocean	2004
255,000	Tangshan earthquake	China	1976
230,000	Aleppo earthquake	Syria	1138
200,000	Gansu earthquake	China	1920
200,000	Xining earthquake	China	1927
200,000	Damghan earthquake	Iran	856
150,000	Ardabil earthquake	Iran	893
140,000	Great Kanto earthquake	Japan	1923
110,000	Ashgabat earthquake	Turkmenistan	1948
100,000	Messina earthquake	Italy	1908
100,000	1755 Lisbon earthquake	Portugal	1755
100,000	Chihi earthquake	China	1290
87,350	2005 Kashmir earthquake	Pakistan, India	2005
80,000	Shemakha earthquake	Caucasus	1667
77,000	Tabriz earthquake	Iran	1727
70,000	Gansu earthquake	China	1932
66,000	Ancash earthquake	Peru	1970
60,000	Sicily earthquake	Sicily	1693
60,000	Quetta earthquake	British India	1935
50,000	Calabria earthquake	Italy	1783
50,000	Iran earthquake	Iran	1990

http://en.wikipedia.org/wk>List_of_natural_disasters_by_death_toll

ปัจจัยที่มีผลต่อความเสียหายจากเหตุการณ์แผ่นดินไหว ได้แก่

1. ขนาดและกำลังของแผ่นดินไหว

แผ่นดินไหวที่อยู่ในแนวแผ่นดินไหวโลก และเกิดจากแรงเหตุที่นิรภัยในภายนอกแล้วที่มีความหลากหลายมากๆ จะมีศักยภาพทำให้เกิดแผ่นดินไหว ขนาดใหญ่

2. ระยะทาง

ระยะทางไกลกว่าจะมีความสัมสโนที่อยู่ของพื้นดินมากกว่า ไม่สกัดกั้นภัยมาก ยกเว้นในกรณีคลื่นยักษ์ใต้ดินอาจเกิดจากศูนย์กลางแผ่นดินไหวที่อยู่ใกล้ๆ กัน

3. ความลึกของแผ่นดินไหว

แผ่นดินไหวที่มีความลึกไม่มากหรือแผ่นดินไหวผืนพันธุ์จะก่อความเสียหายได้มากกว่าแผ่นดินไหวที่อยู่ห่างจากศูนย์กลางมากกว่า 40 กิโลเมตร

4. ทิศทางการเคลื่อนตัวของแหล่งกำเนิดแผ่นดินไหว

ทิศทางของการเคลื่อนตัวของแหล่งกำเนิดแผ่นดินไหวจะเป็นแหล่งกำเนิดแผ่นดินไหว มีผลต่อค่า amplitude ของความสั่นสะเทือนและกำรร้าวจัด (Displacement) ของคลื่น P คลื่น S และคลื่นผิว เช่น หากสิ่งก่อสร้าง อาคารมีแนวรั้ง สถาปัตย์ ห้องน้ำที่มีหลังคาแบบสูง อาจทำให้เกิดความเสียหายมากกว่าตัวบ้านเองอ่อน แต่ถ้าห้องน้ำที่มีหลังคาแบบแบน ความเสียหายจะน้อยกว่า

5. เวลาเกิด

เวลาเกิดของแผ่นดินไหวที่มีความเสียหาย เนื่องจาก

กิจกรรมทาง生物ที่มีชีวชีวภาพทำให้เกิดการก่อภัย เช่น ในเวลาสองสามวันหลังจากวันเดียว น้ำภาคผืนพันธุ์จะเกิดขึ้นตามธรรมชาติ แต่ถ้าเกิดแผ่นดินไหวในช่วงที่มีกิจกรรมตัวอย่างเช่นการไฟฟ้า ความเสียหายจะมีความเสียหายรุนแรงเพิ่มขึ้น

6. ความเยาวนานของแผ่นดินไหว

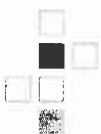
เมื่อกิจกรรมแผ่นดินไหวที่มีความสัมสโนที่เกิดกันเดล้ำลึก ความเสียหายจะเพิ่มขึ้น น้ำภาคผืนพันธุ์จะมีความเสียหายรุนแรงเพิ่มขึ้น

THE NEW 7 WONDERS OF THE WORLD

The New 7 Wonders organization is happy to announce the following 7 candidates have been elected to represent global heritage throughout history. The listing is in random order, as announced at the Declaration Ceremony on 07.07.07. All the New 7 Wonders are equal and are presented as a group without any ranking.



The Great Wall, China Petra, Jordan Christ Redeemer, Brazil Machu Picchu, Peru
Chichen Itza, Mexico The Roman Colosseum, Italy The Taj Mahal, India



OFFICIAL
NEW 7 WONDER
OF THE WORLD

AGA 2007
Washington D.C., USA
May 19, 2007-May 24, 2007

ແລ້ວວັດງາ

AGA 2007

Washington D.C., USA

May 19, 2007-May 24, 2007

1. Buranawutti W, Thong-u-thaisri P, Pramoolsinsap C, Wisedopas N, Atamasirikul K, Udomsubpayakul U. Pentoxyfylline for treatment of non-alcoholic fatty liver disease (NAFLD): A Randomized, placebo-controlled study.

2. ThongNgam D. Curcumin Blocks VEGF Synthesis and NF- κ B Activation On Prevention of Gastric Microcirculatory Albumin Leakage in Helicobacter Pylori Infected Rats

3. Rugge M, Kim J, Mahachai V, et al. Olga Gastritis Staging in Young Adults and Country-Specific Gastric Cancer Risk

4. Rerknimitr R, Chayavaswad J, Kongkan P, Kullavanijaya P. Risk of Bacteremia After Cyanoacrylate Injection in Bleeding and Non-Bleeding Gastric Varices

งานประชุมวิชาการรากลางปี ของสมาคมฯ

"Evidence based and best practice in common GI diseases"

วันที่ 12-14 กรกฎาคม 2550

ณ โรงแรม Hilton Hua Hin Resort & Spa จ.ประจวบคีรีขันธ์

State-of-the-art hepatitis
B management

โดย Prof. Eugene R. Shiff



ห้องประชุม



ผู้เข้าร่วมประชุมมาก
ถึง 293 คน และมี
แพทย์จากต่างประเทศ
จำนวน 15 คน



"Best GI Fellow
Research Award"
อาจารย์กานต์ เมฆพันธ์
วิจัยและทดลองทางด้านตัวต่อตัวเดียว
เพื่อการสืบทอดอาชีวศึกษา
ให้เป็น GI Fellow
3 คนได้แก่ นายเชาว์รุ๊ง นิตยวงษ์พาก
นพ.ชัยวัฒน์ วงศ์บริษัท และนพ.ภานุวัฒ
นุรุณกุล นำเสนอผลงานวิจัยและรับ
รางวัลจากการมาศึกษา

ขอแสดงความยินดีกับนายแพทย์วราภรณ์ ราษฎร์ บุญฤทธิ์ GI Fellow จากโรงพยาบาลรามาธิบดี นักจักษุโรคที่รักษาผู้ป่วยด้วยการใช้ยาลดความรุนแรงทางเด็กและยาต้านพยาธิทางเด็กในงานนำเสนอผลงานวิจัย ในการประชุม AGA 2007 ณ Washington D.C., USA วันที่ 19-24 พฤษภาคม 2550 และขอแสดงความยินดีกับแพทย์สุรัตน์ พัฒนาภรณ์ (ประเทศไทย) อาจารย์ พัฒนาภรณ์ นำเสนอบรรيجานวิจัย AGA GI Fellow ในประชุม AGA ครั้งที่



ประชุมทางการแพทย์นานาชาติ AGA ครั้งที่ 14 จัดขึ้นที่กรุงเทพฯ ประเทศไทย วันที่ 19-24 พฤษภาคม 2550



2 พิธีกรคู่วิป
สีลักษณ์วงศ์ แสงชัยภูมิ ศิริรัตน์
รัฐกร นิตยากรากษะ เป็น Lecturers กล่าว^{เป็นพิธีกรช่วงท้ายมหกรรม}



พิธีกรคู่วิป สีลักษณ์วงศ์ แสงชัยภูมิ รัฐกร นิตยากรากษะ เป็นพิธีกรช่วงท้ายมหกรรม Booth ราชสมบัติฯ จัดต่อไป



ทีมนักแพทย์ชุดขาว GSK ได้รับรางวัลชนะเลิศ
ยอดเยี่ยมในครั้งนี้



ผู้นำรุ่นสุดท้าย 7 ชัชชาติ ภูริษฐ์ ภูริษฐ์ ช่วง
เพิ่มความสนุกเมื่อเรือนไม้เก็บมาเมืองสังฆาราม



